

1/66

FIG. 1

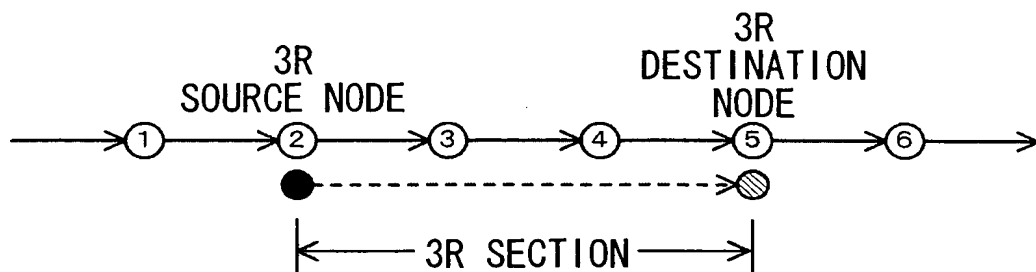


FIG. 2

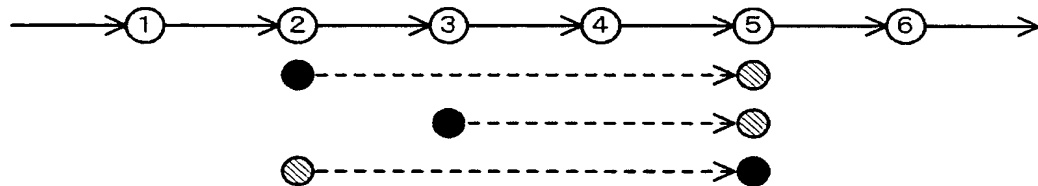


FIG. 3

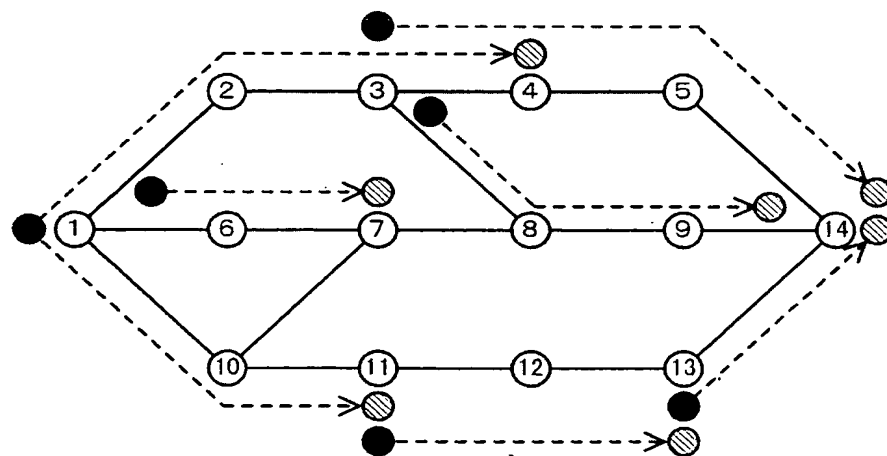


FIG. 4

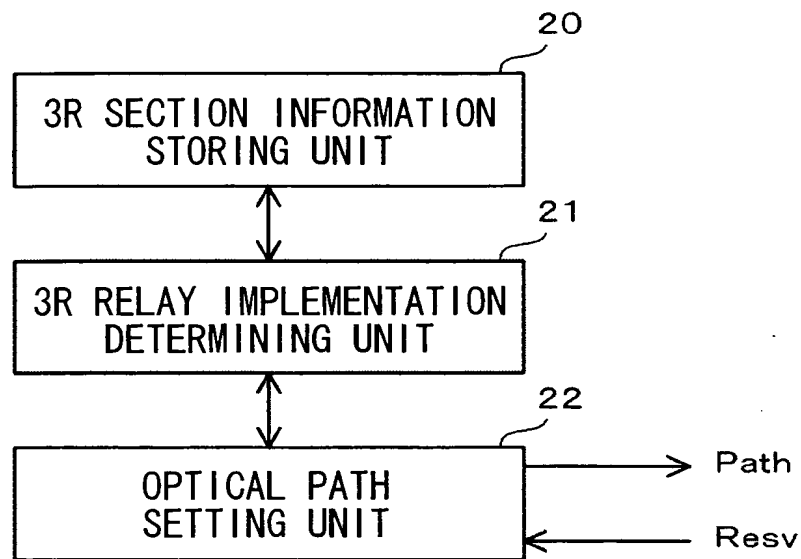


FIG. 5

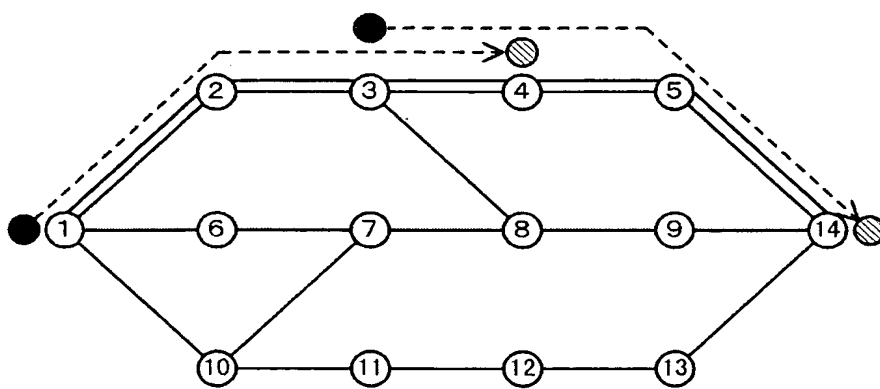


FIG. 6

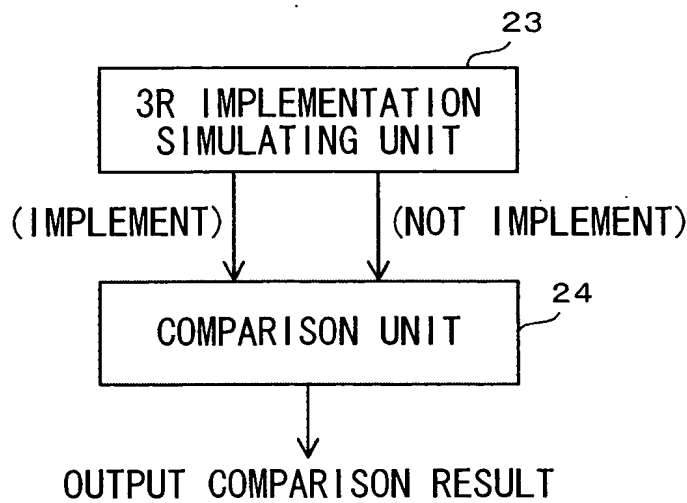


FIG. 7

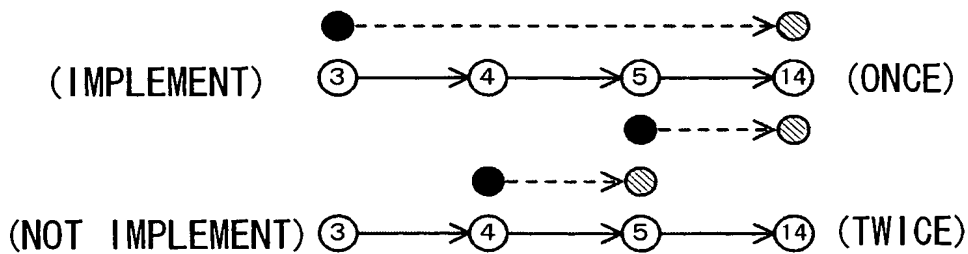


FIG. 8

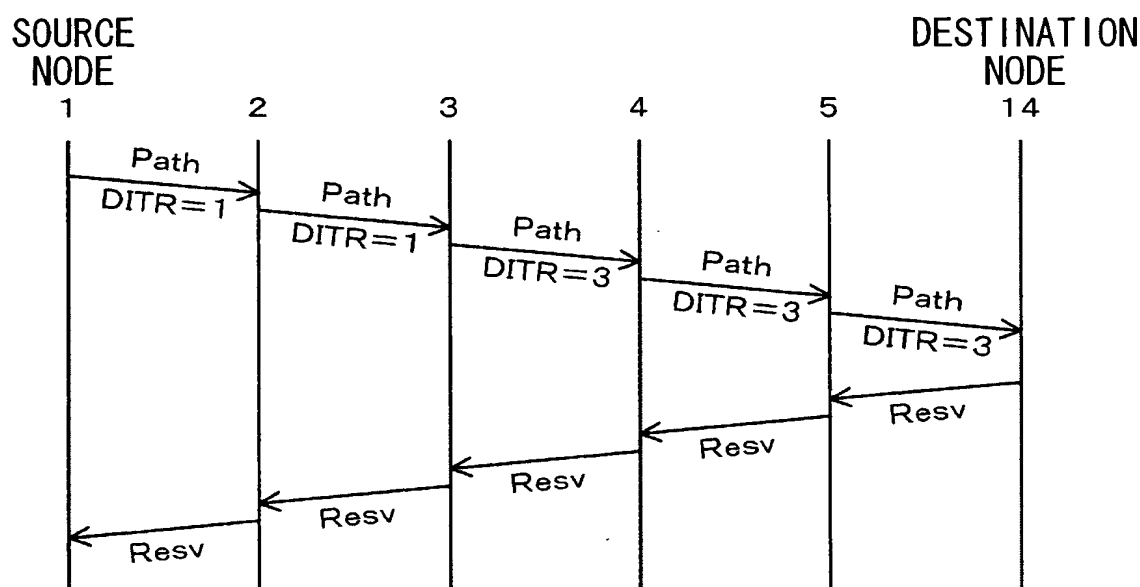


FIG. 9

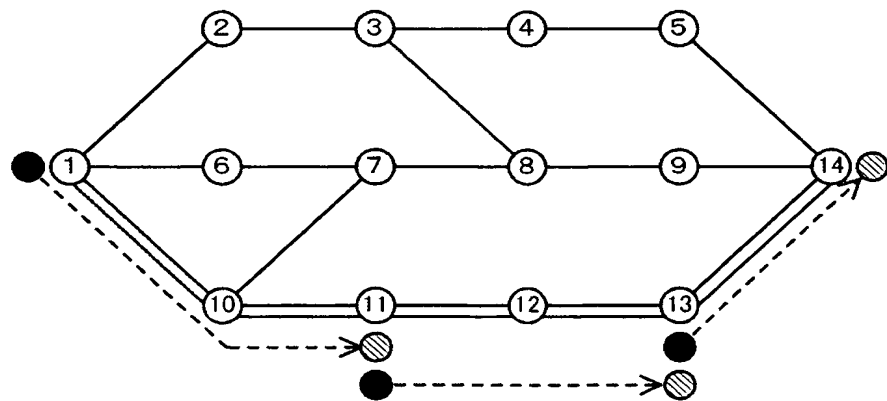


FIG. 10

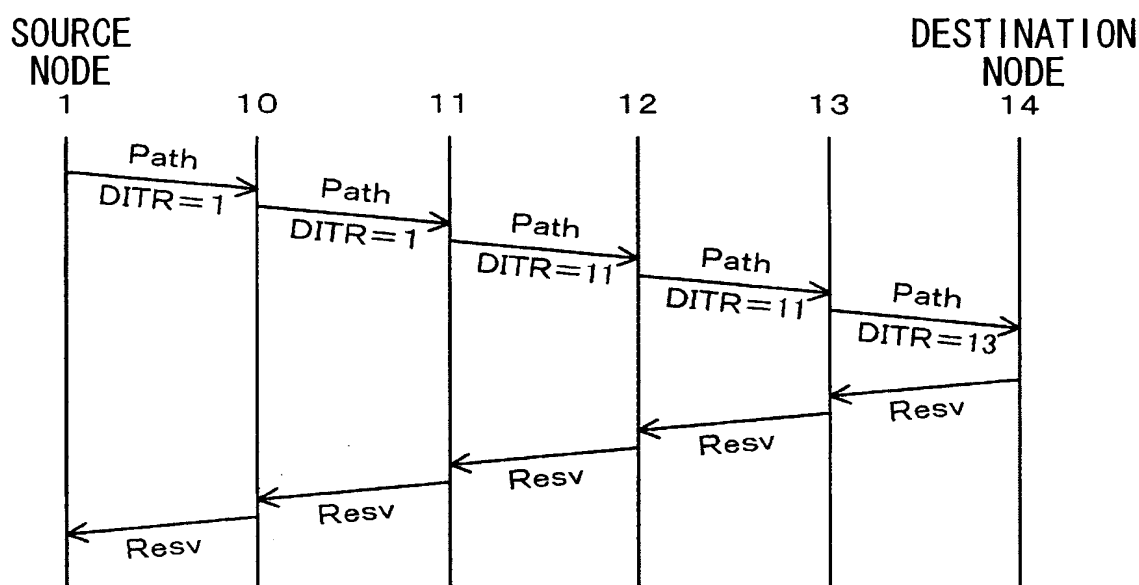
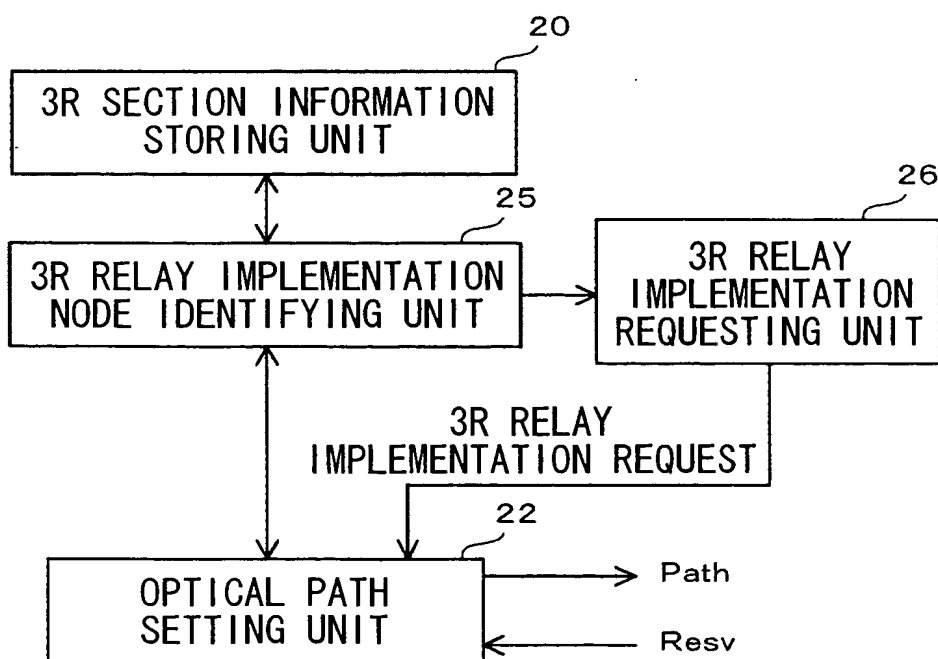


FIG. 11



10/531507

FIG. 12

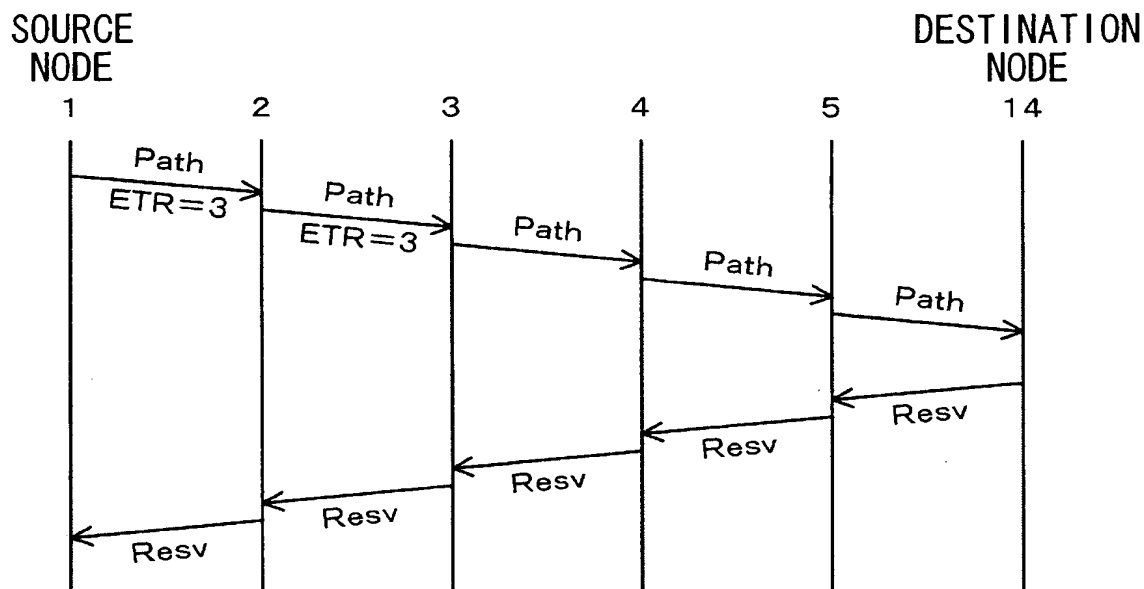


FIG. 13

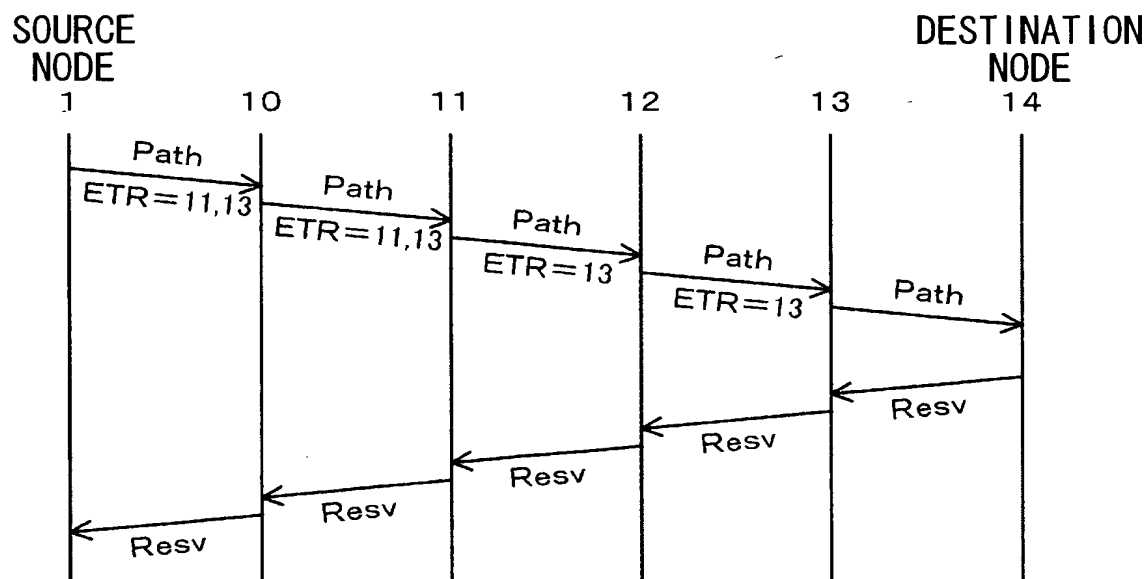


FIG. 14

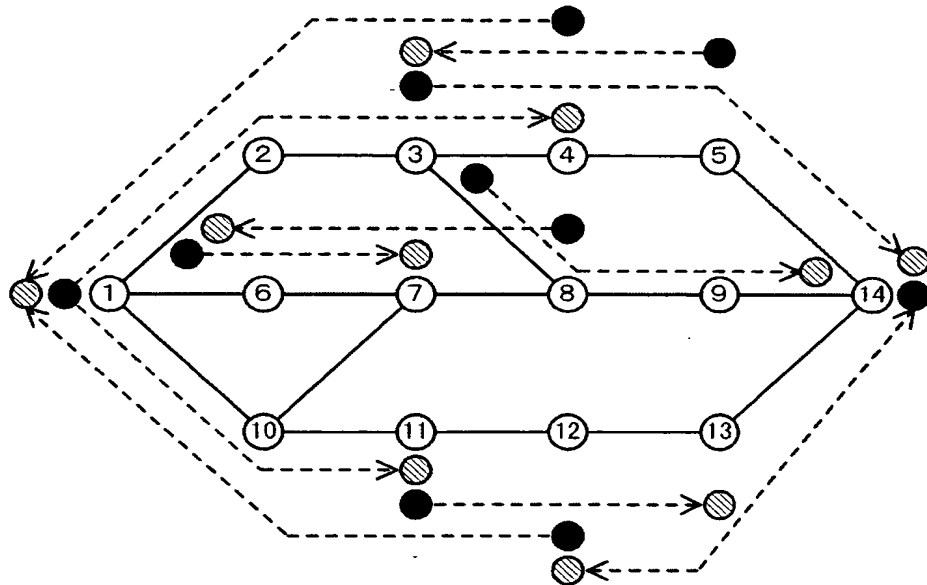


FIG. 15

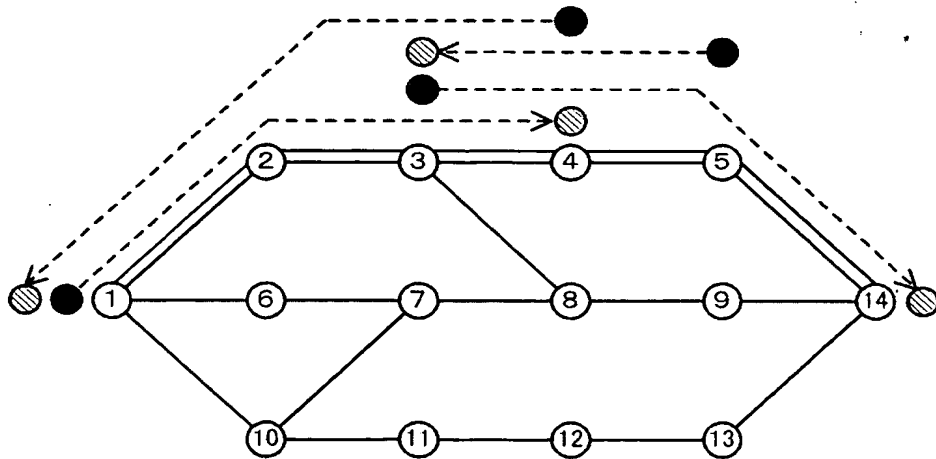


FIG. 16

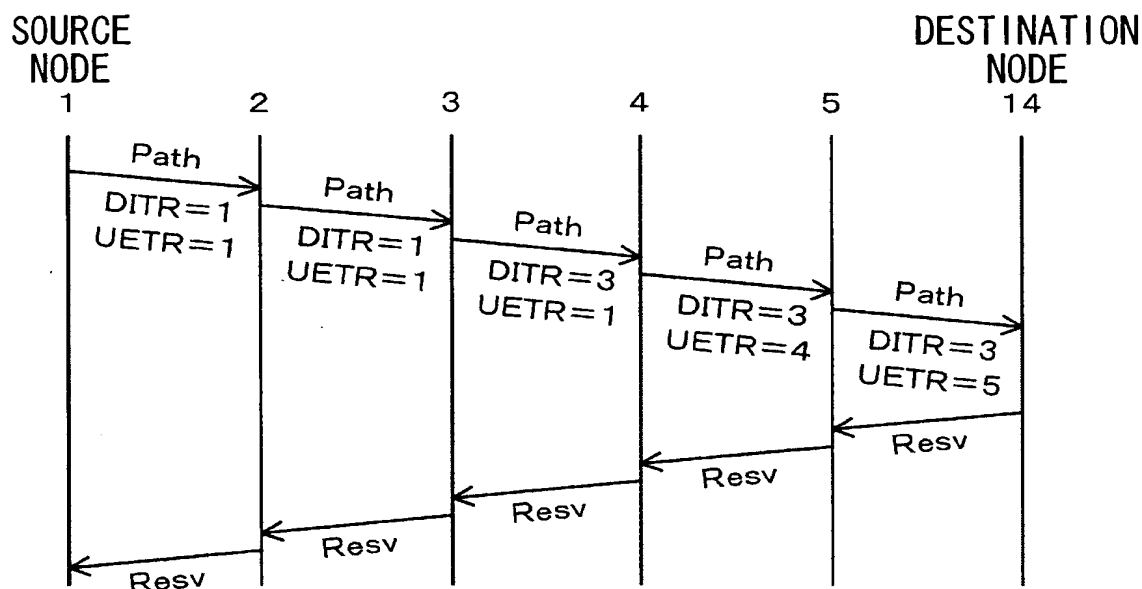
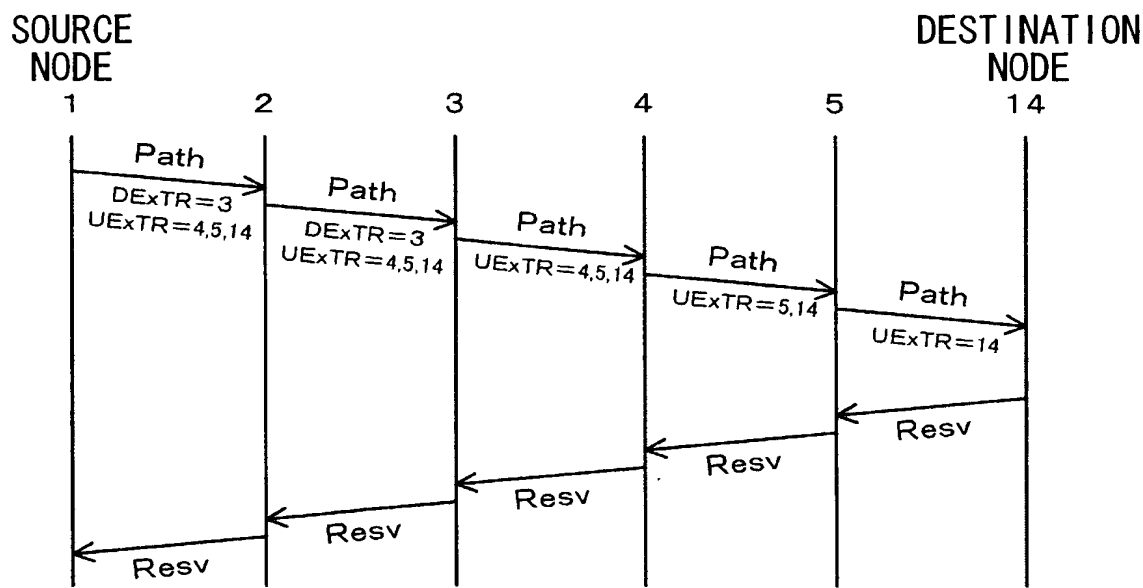


FIG. 17



9/66

FIG. 18

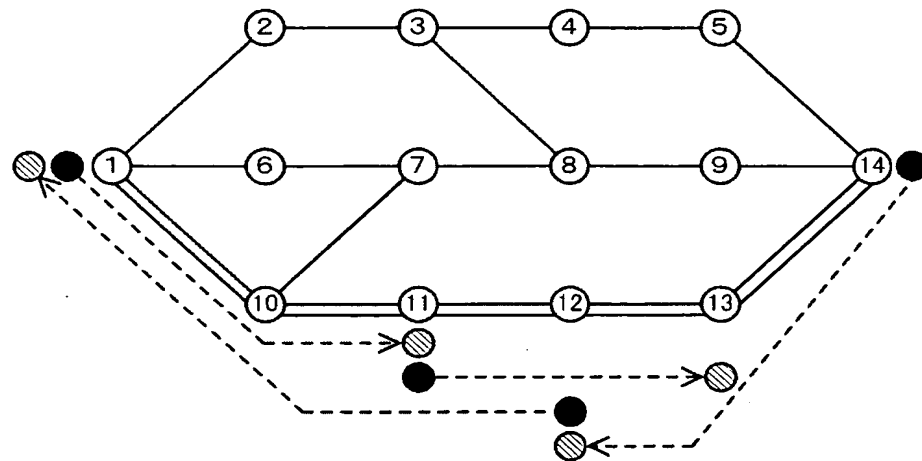
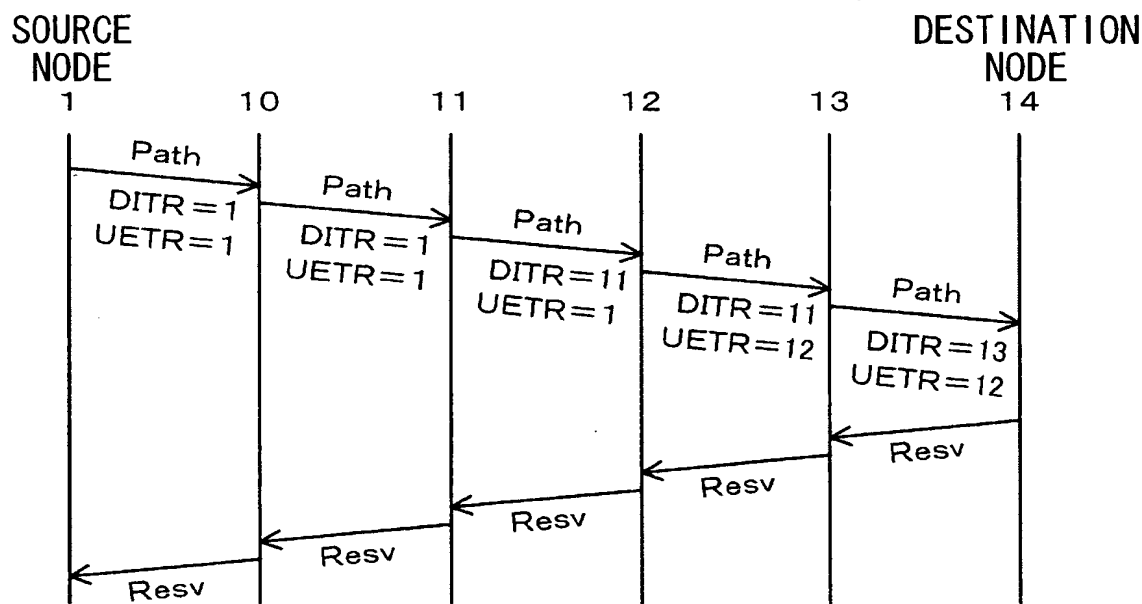


FIG. 19



10/66

FIG. 20

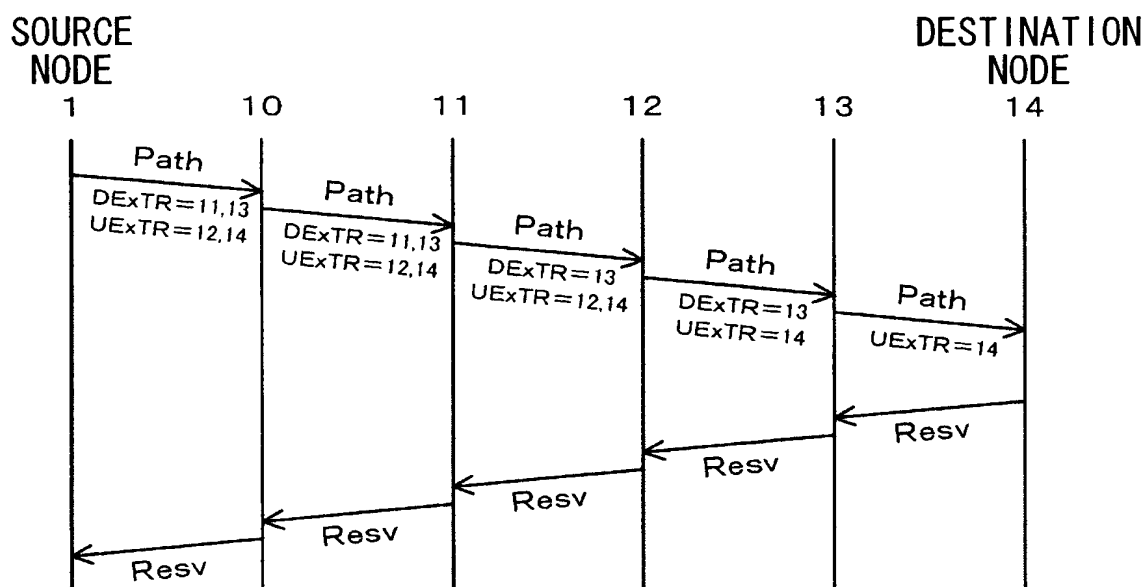
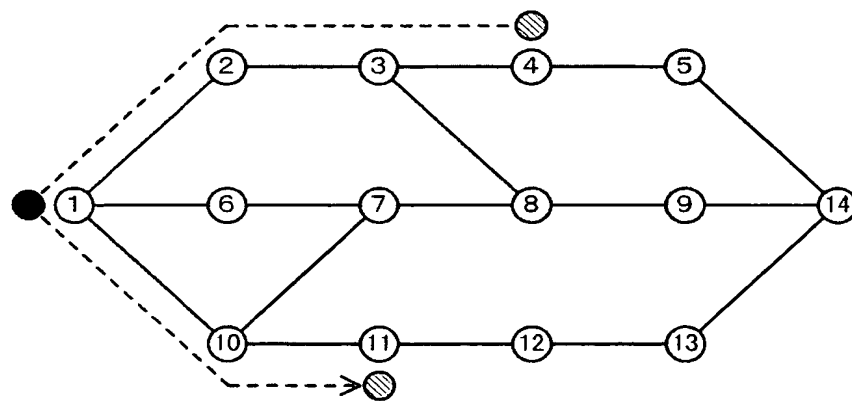


FIG. 21



10/531507

11/66

FIG. 22

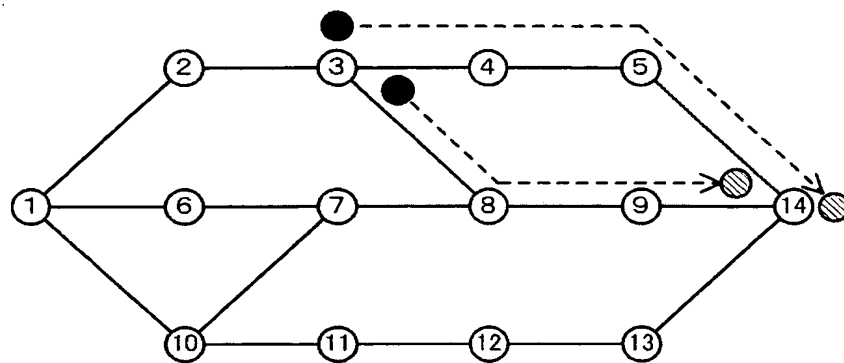
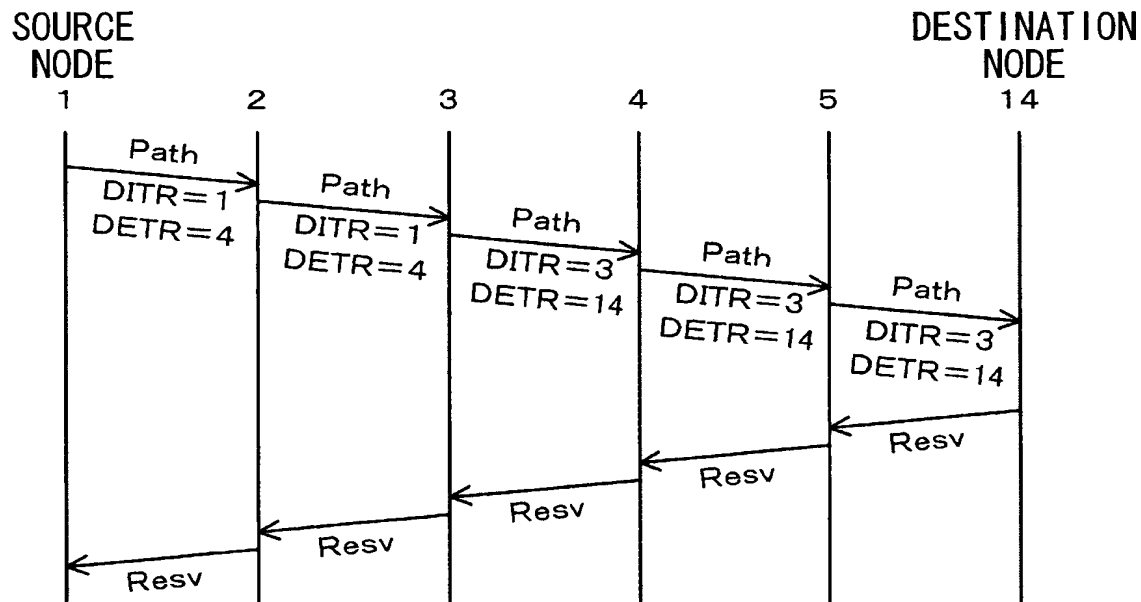


FIG. 23



12/66

FIG. 24

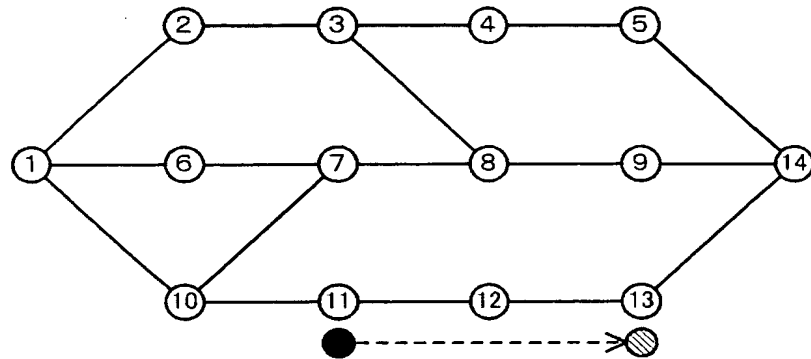
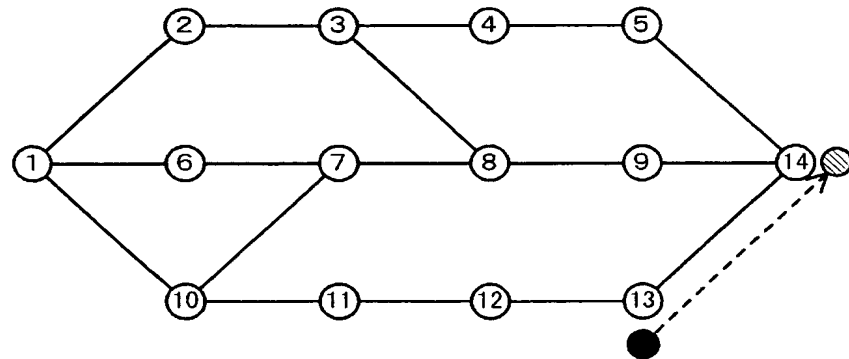


FIG. 25



13/66

FIG. 26

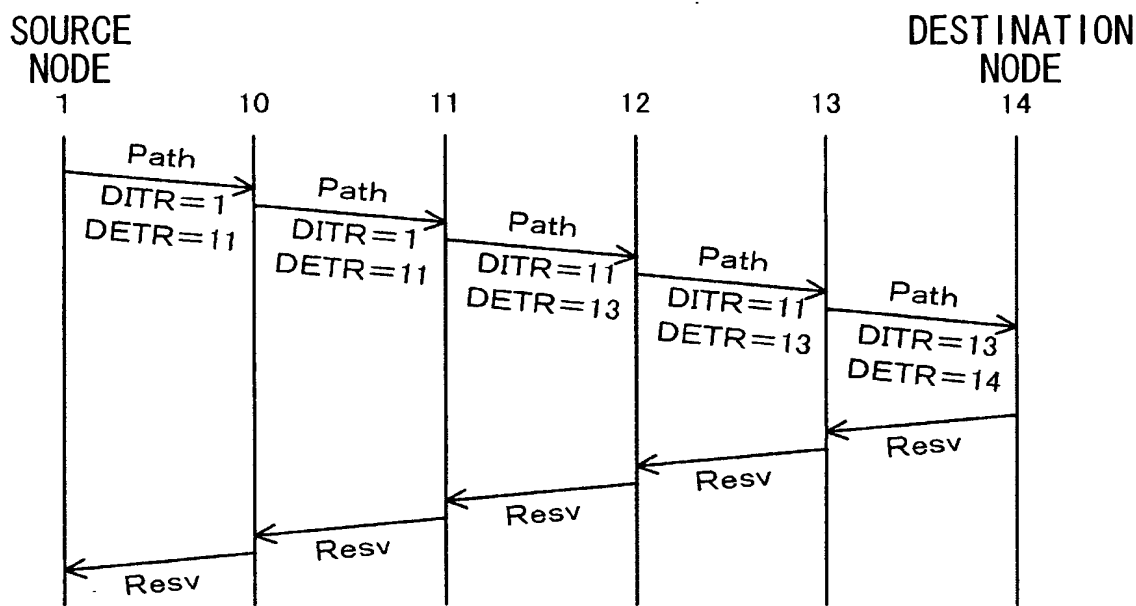


FIG. 27

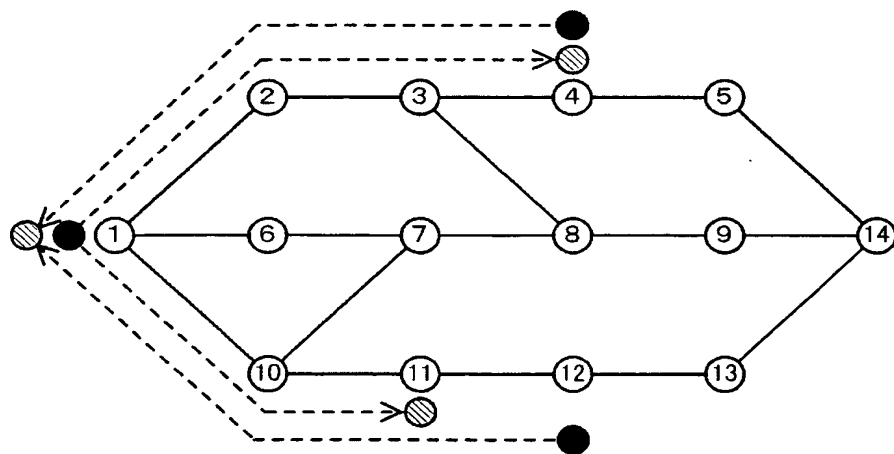


FIG. 28

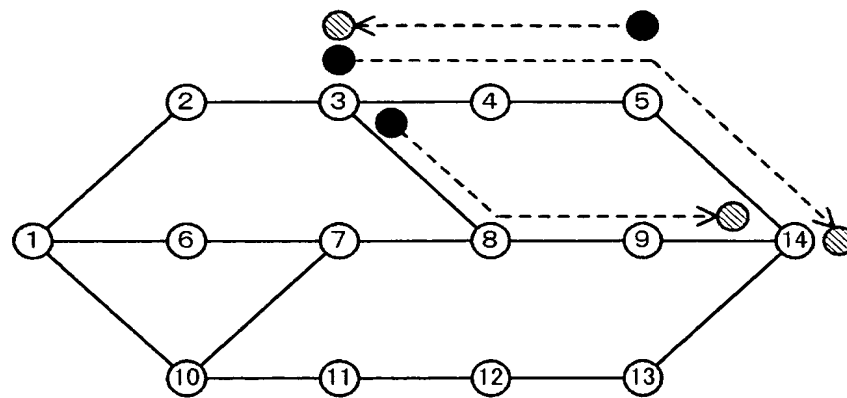


FIG. 29

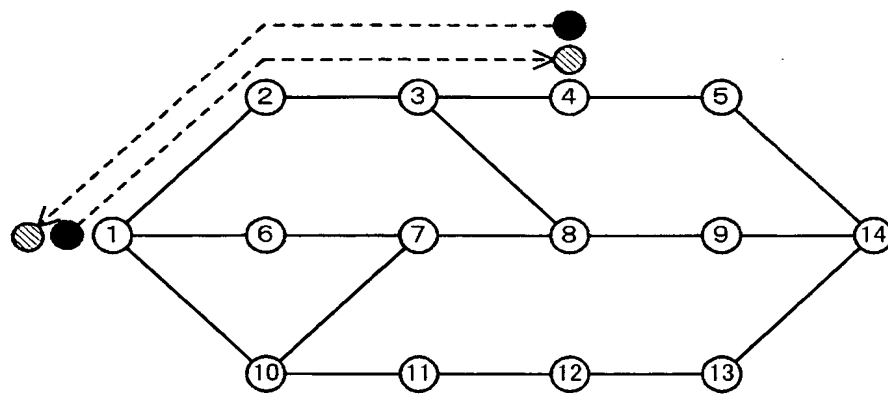


FIG. 30

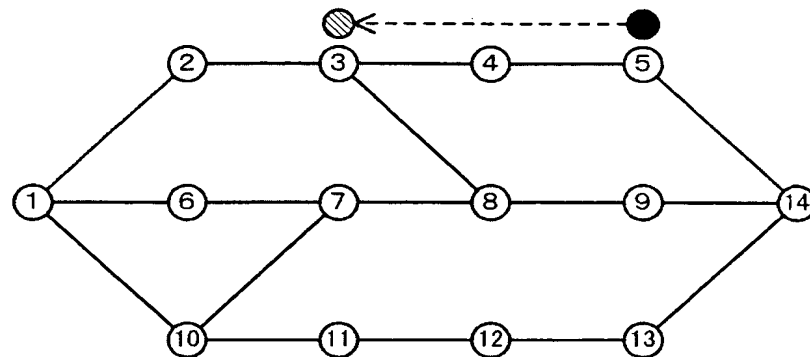
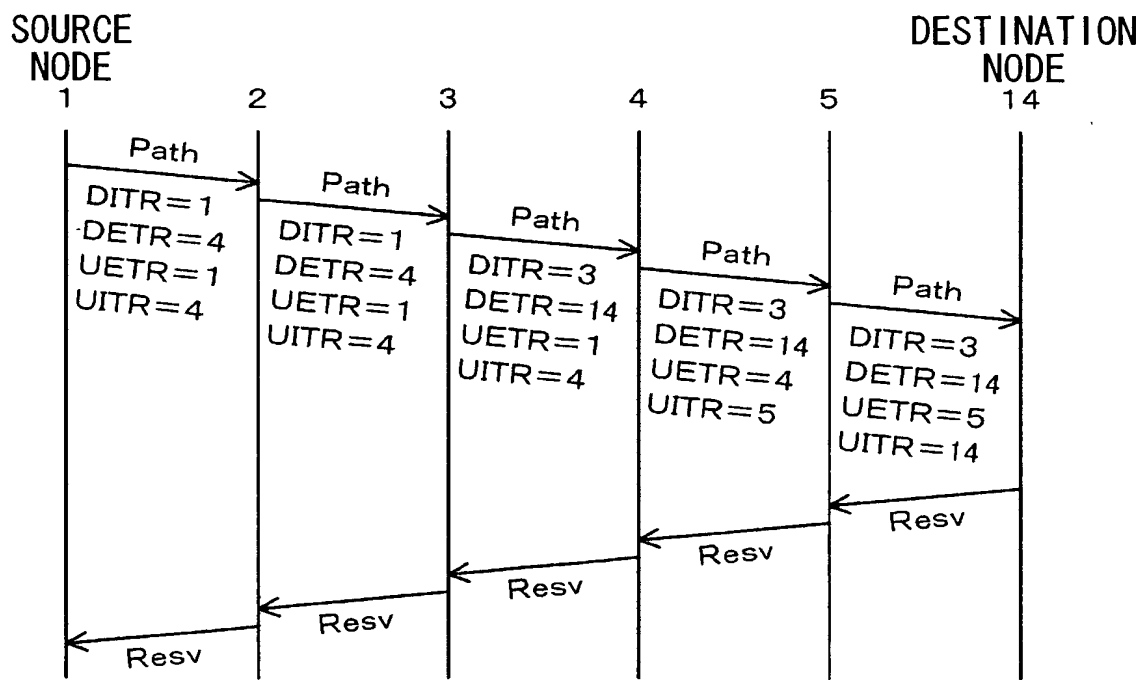


FIG. 31



16/66

FIG. 32

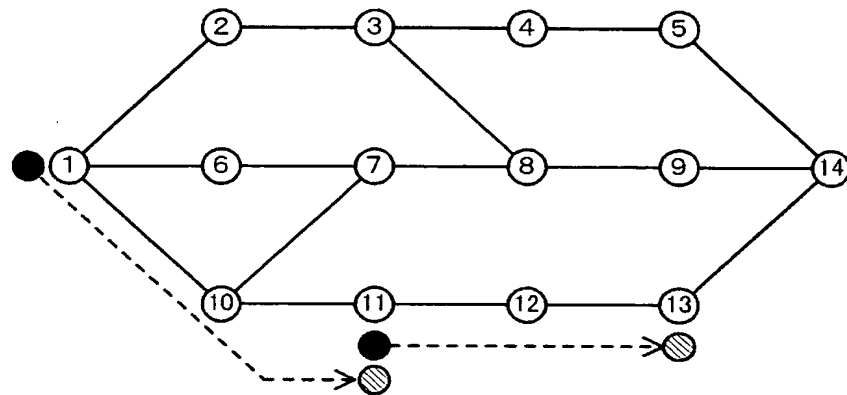
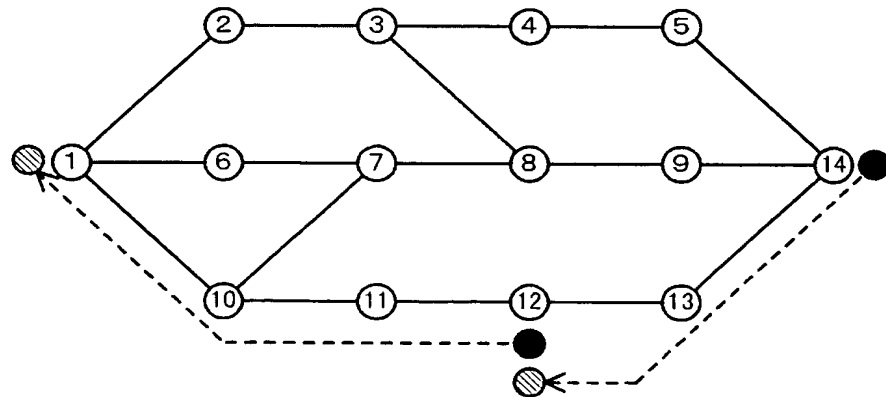


FIG. 33



17/66

FIG. 34

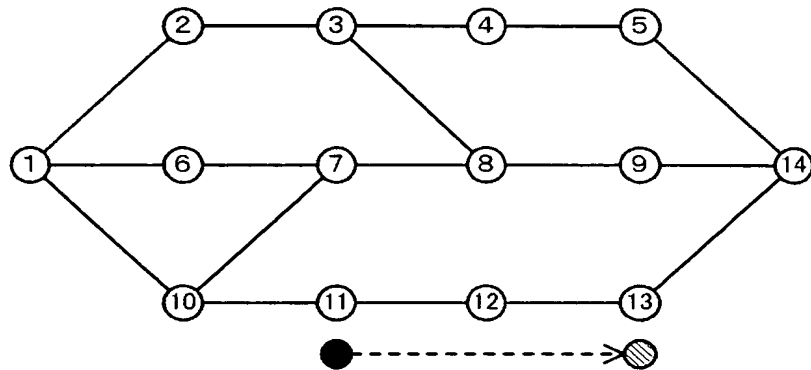
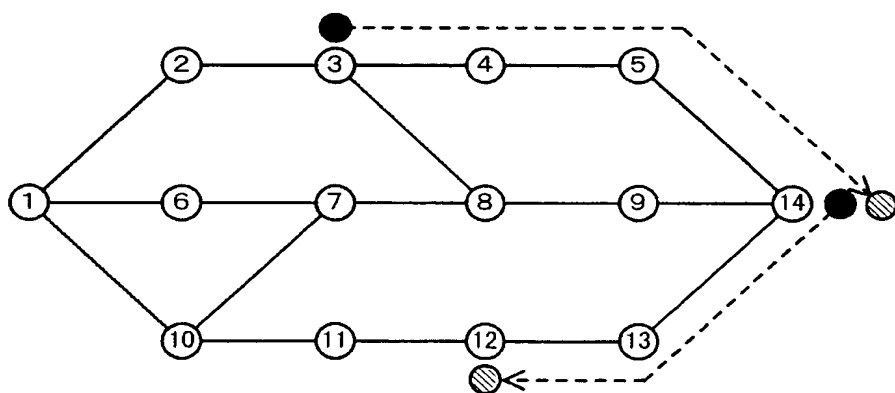


FIG. 35



10/531507

18/66

FIG. 36

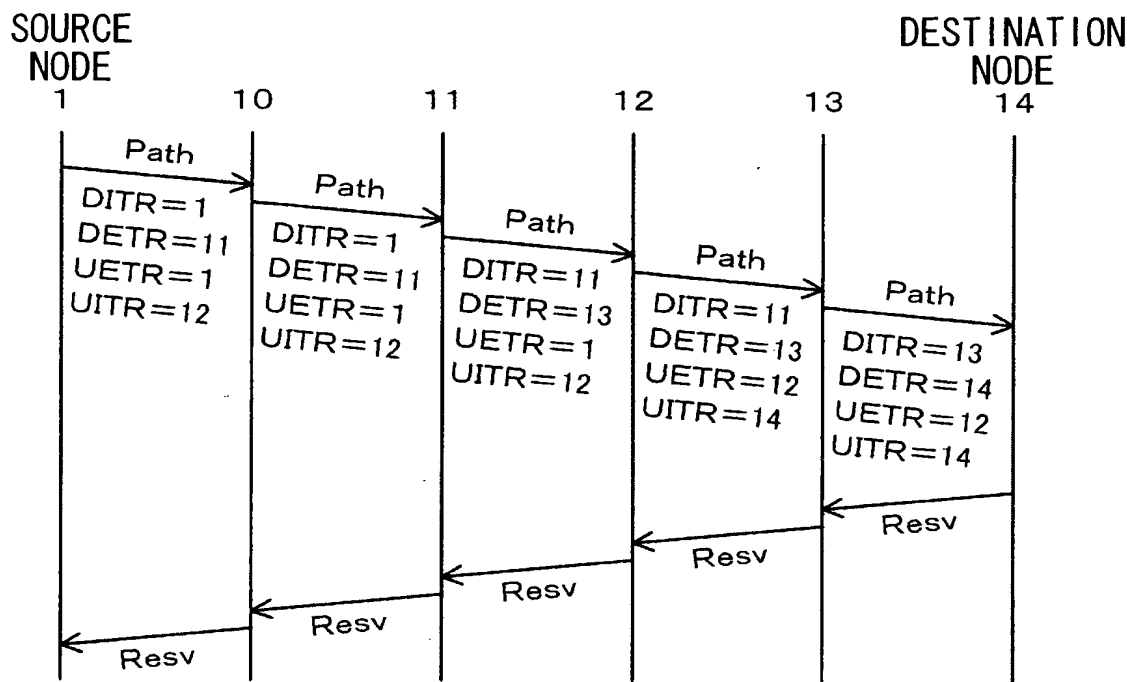
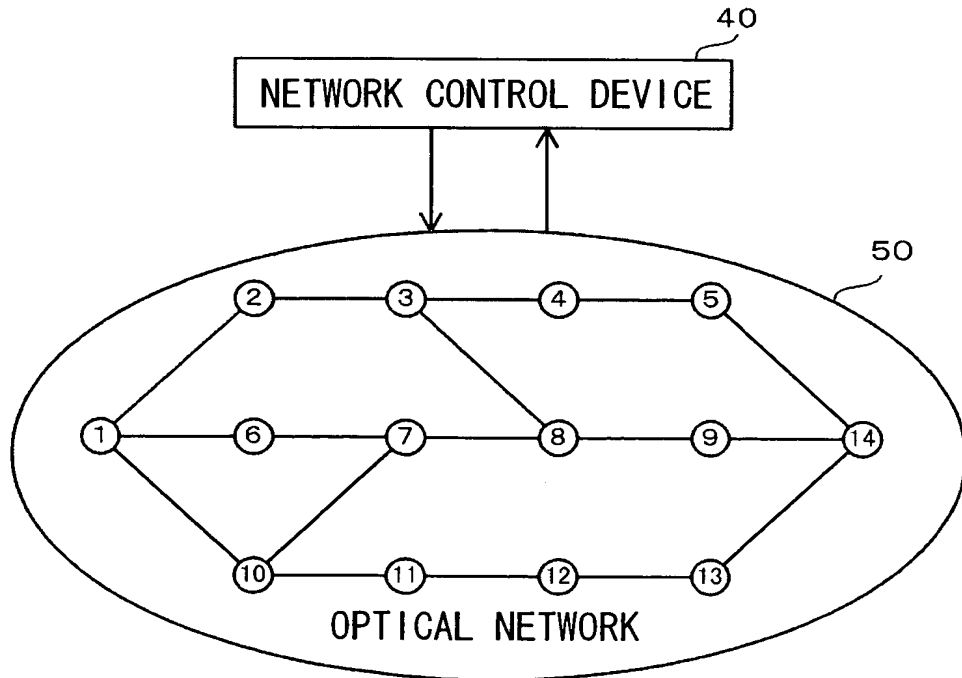


FIG. 37



19/66

FIG. 38

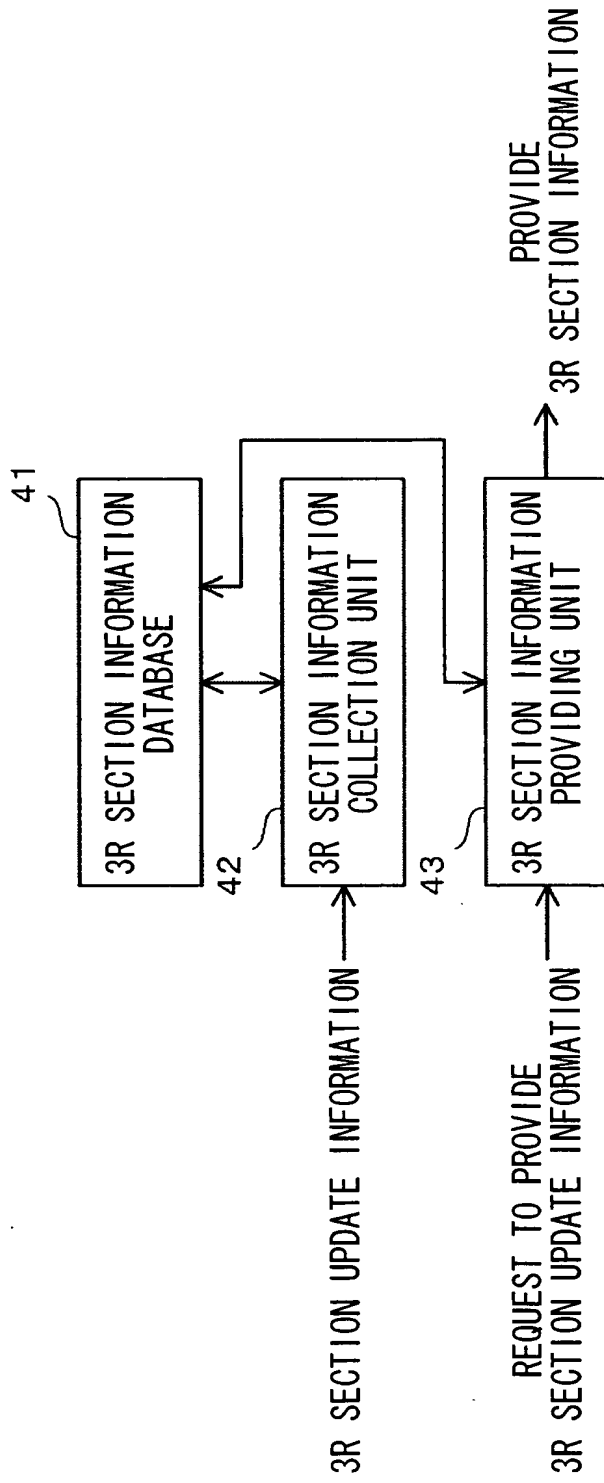


FIG. 39

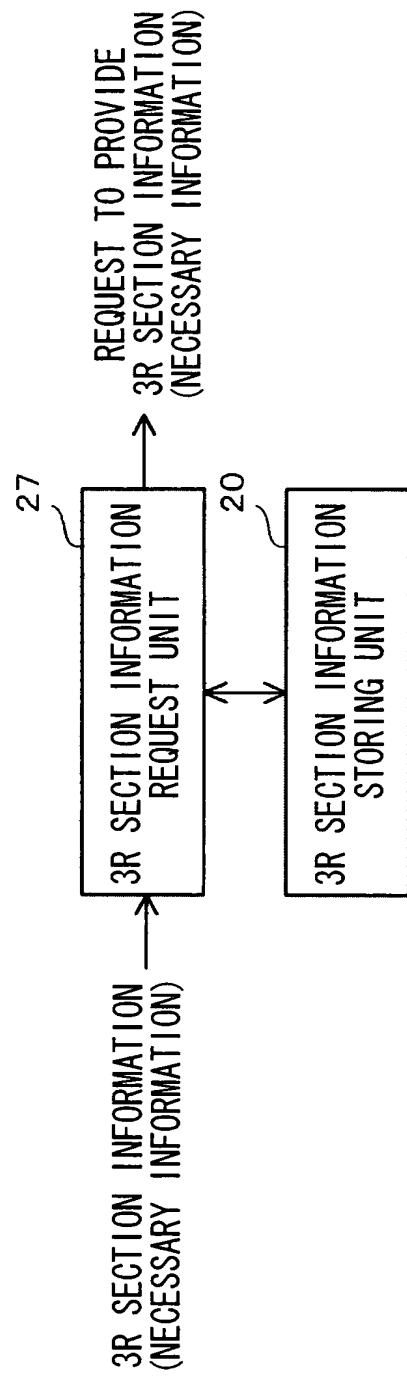


FIG. 40

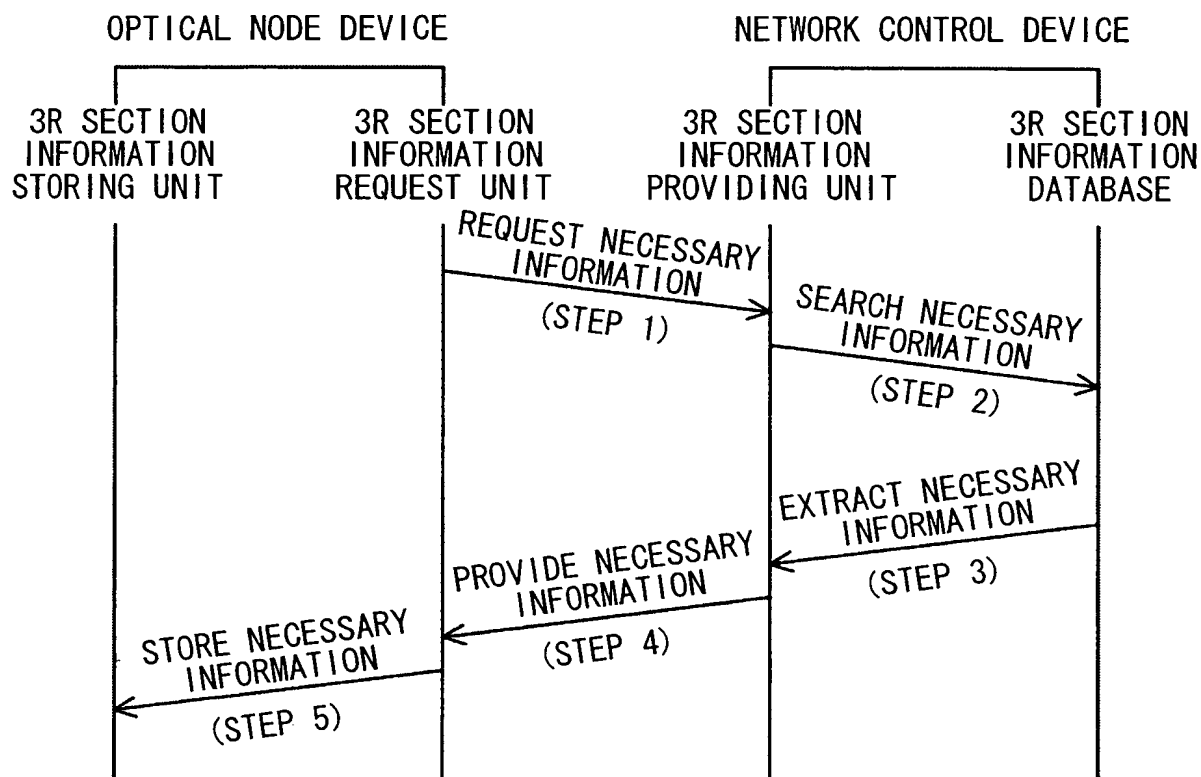


FIG. 41

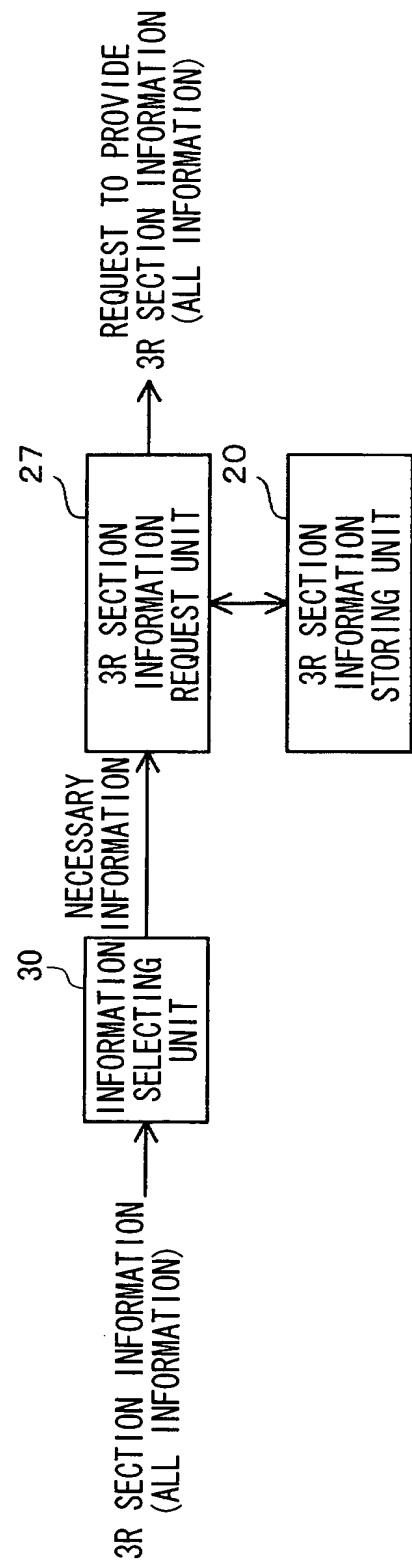


FIG. 42

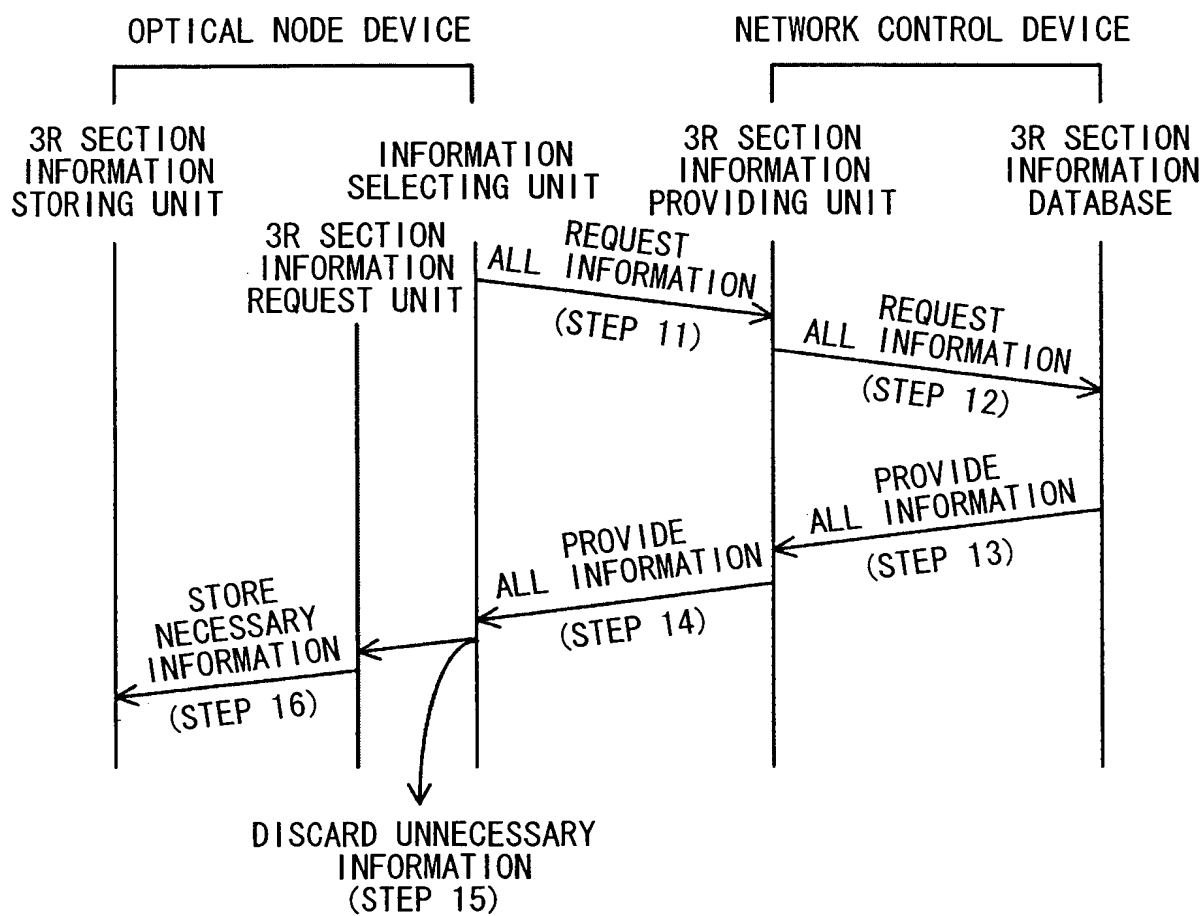
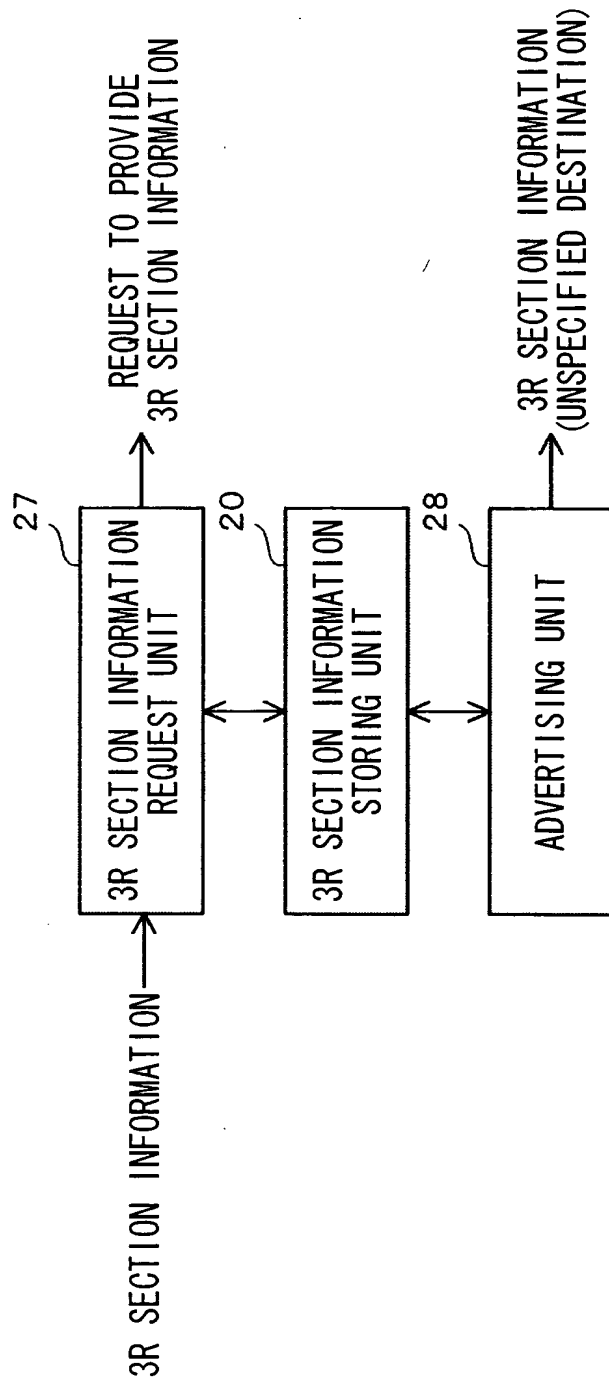
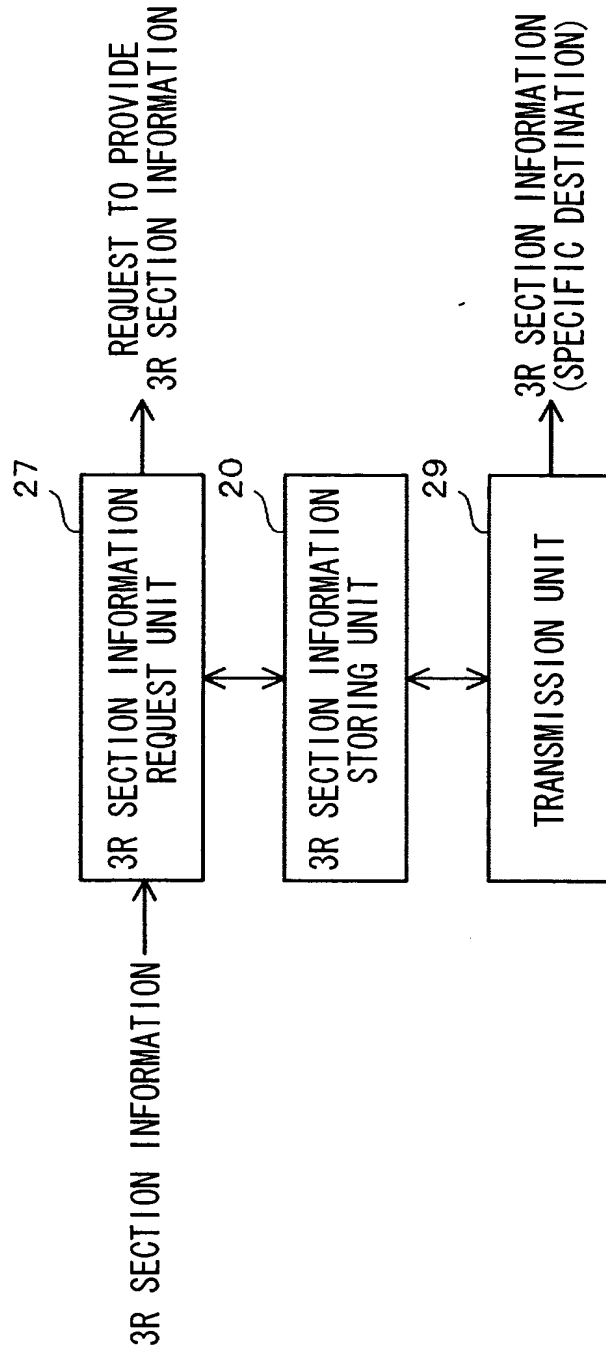


FIG. 43



25/66

FIG. 44



26/66

FIG. 45

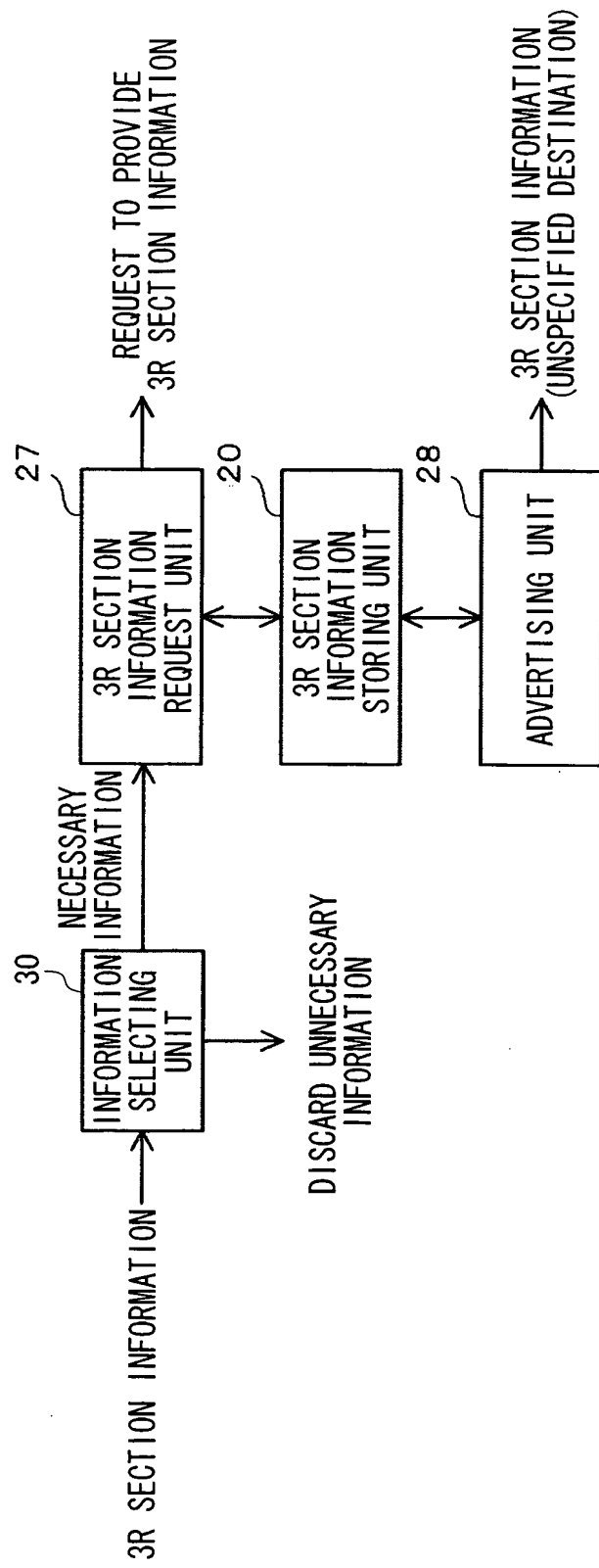


FIG. 46

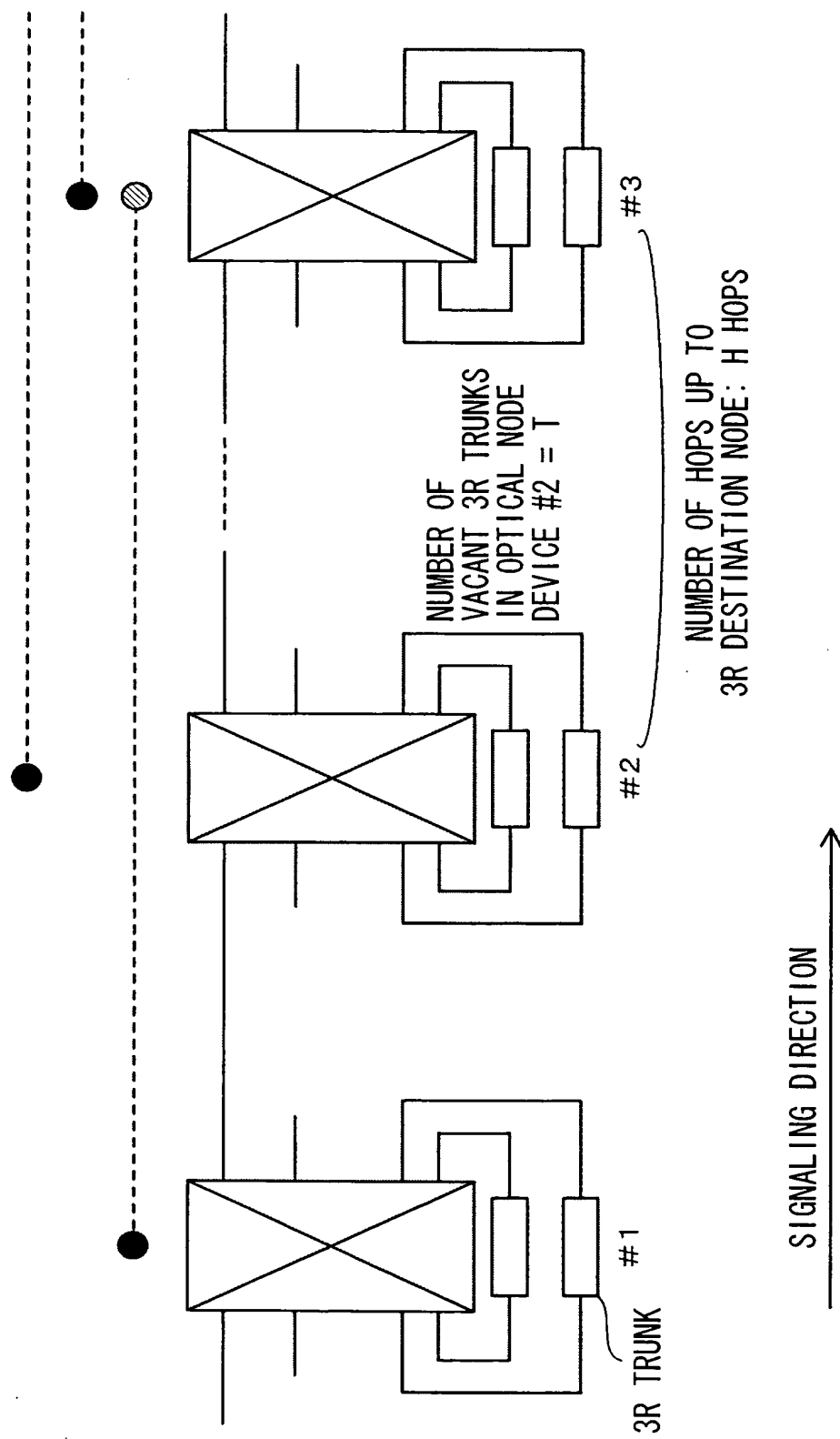


FIG. 47

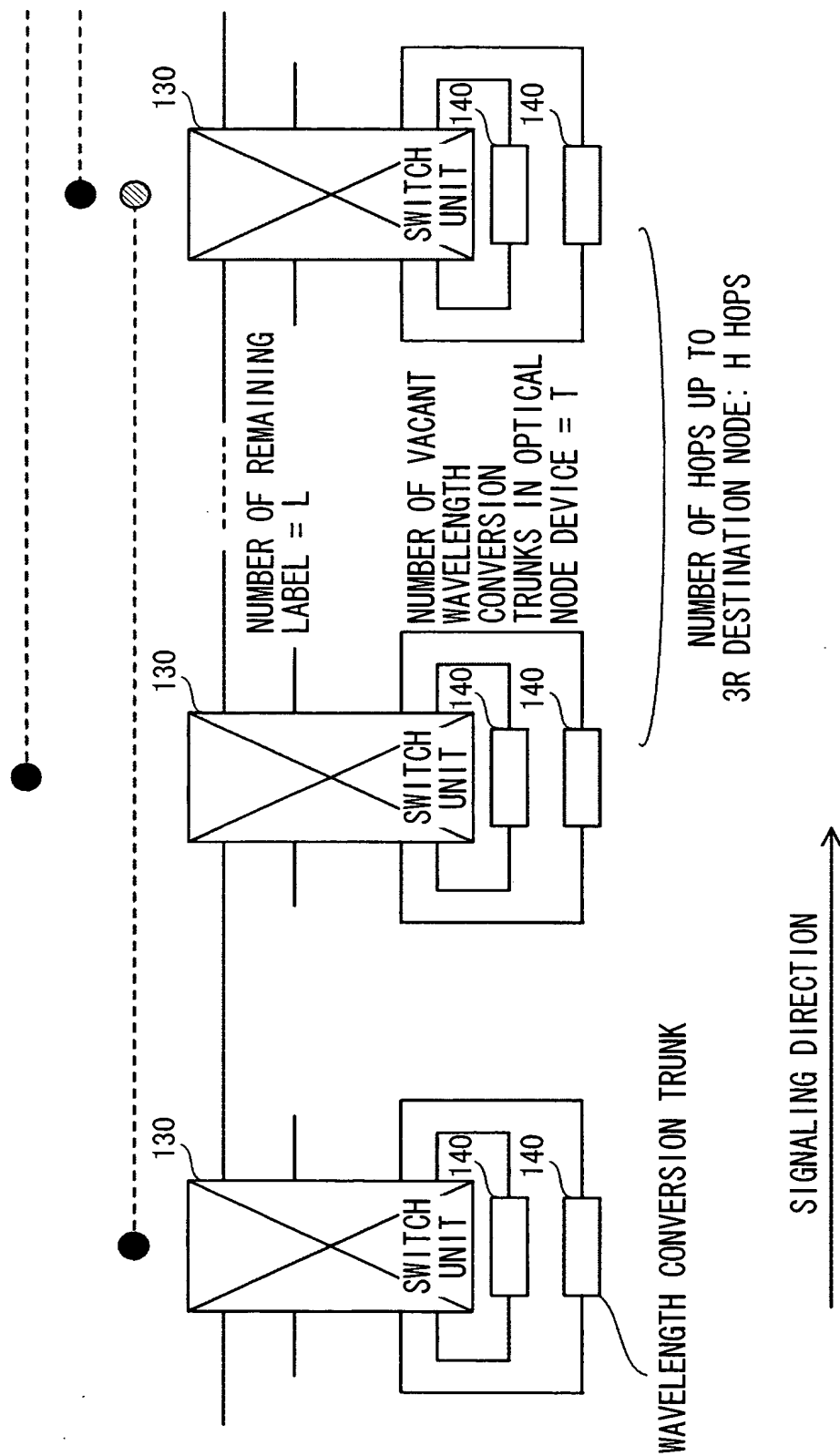


FIG. 48

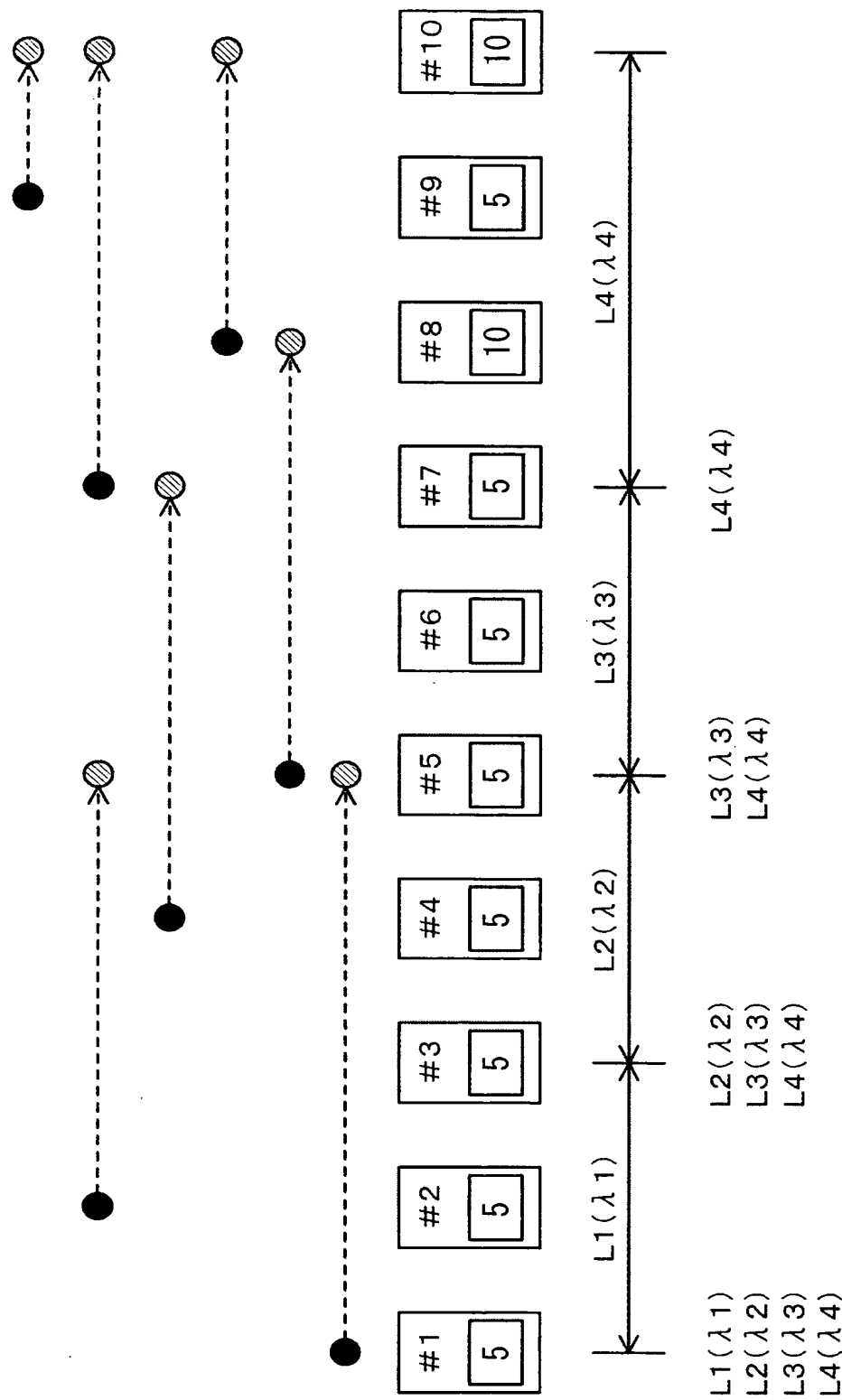


FIG. 49

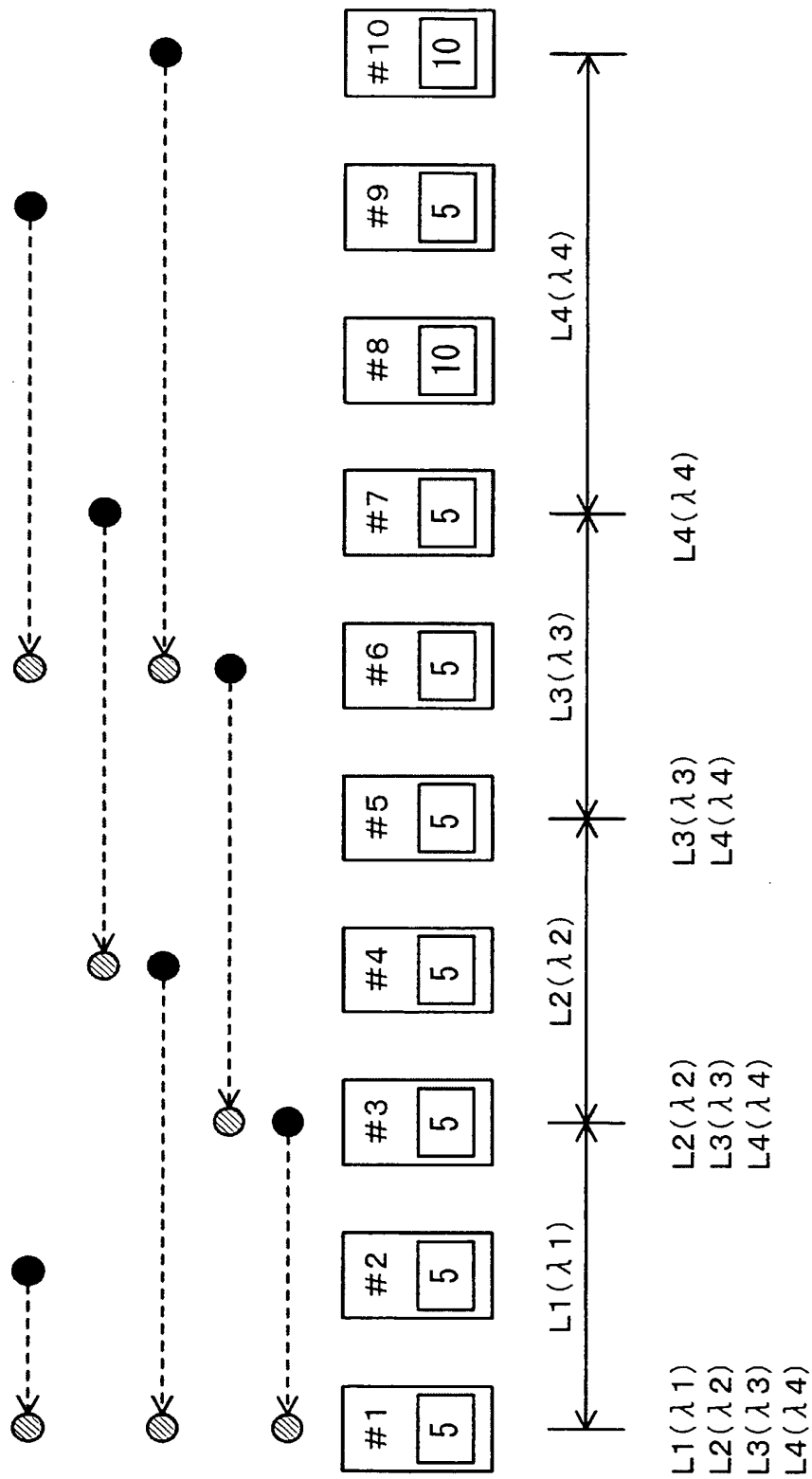


FIG. 50

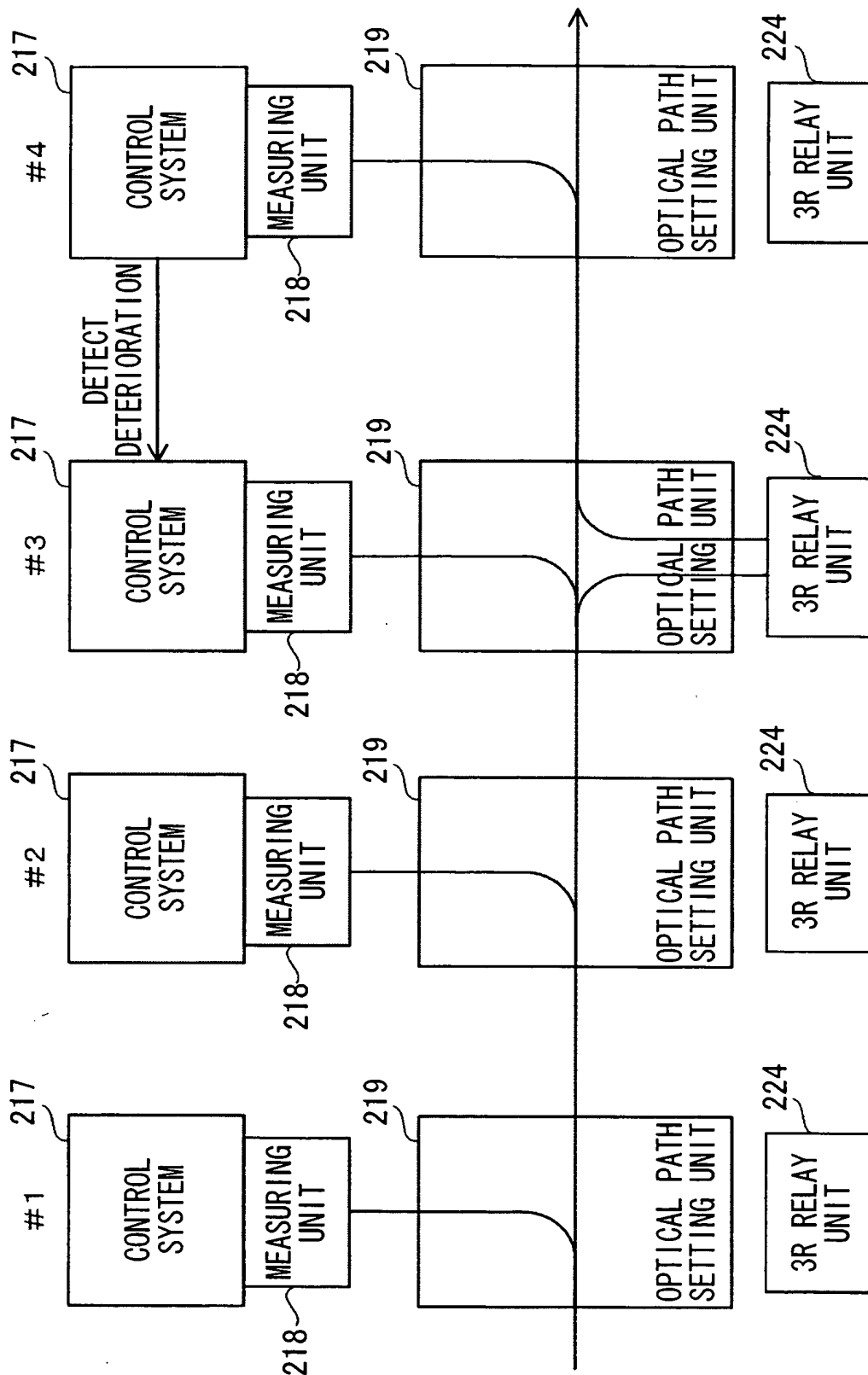
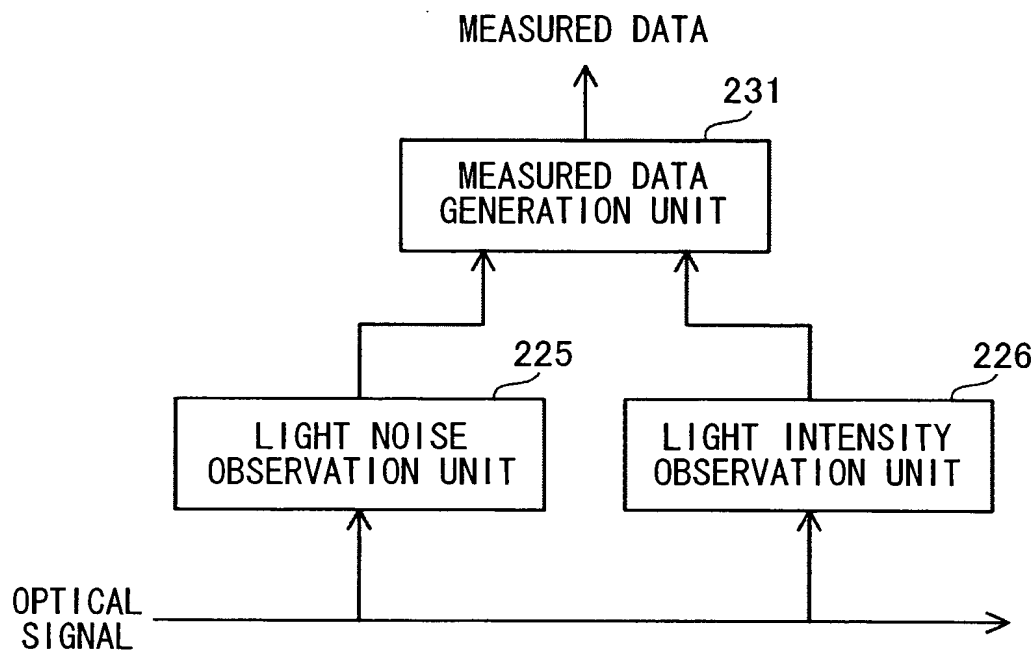


FIG. 51



33/66

FIG. 52

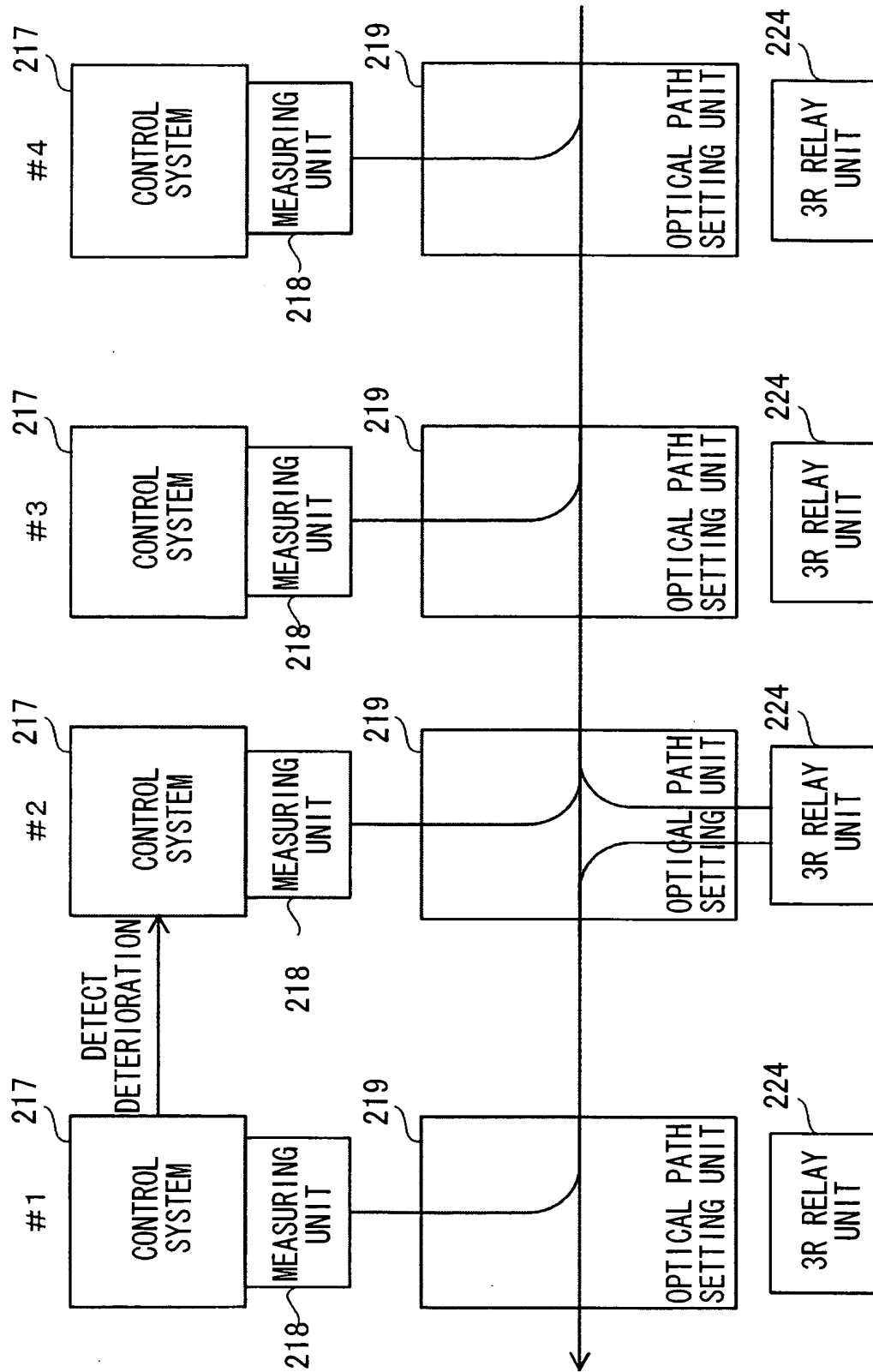


FIG. 53

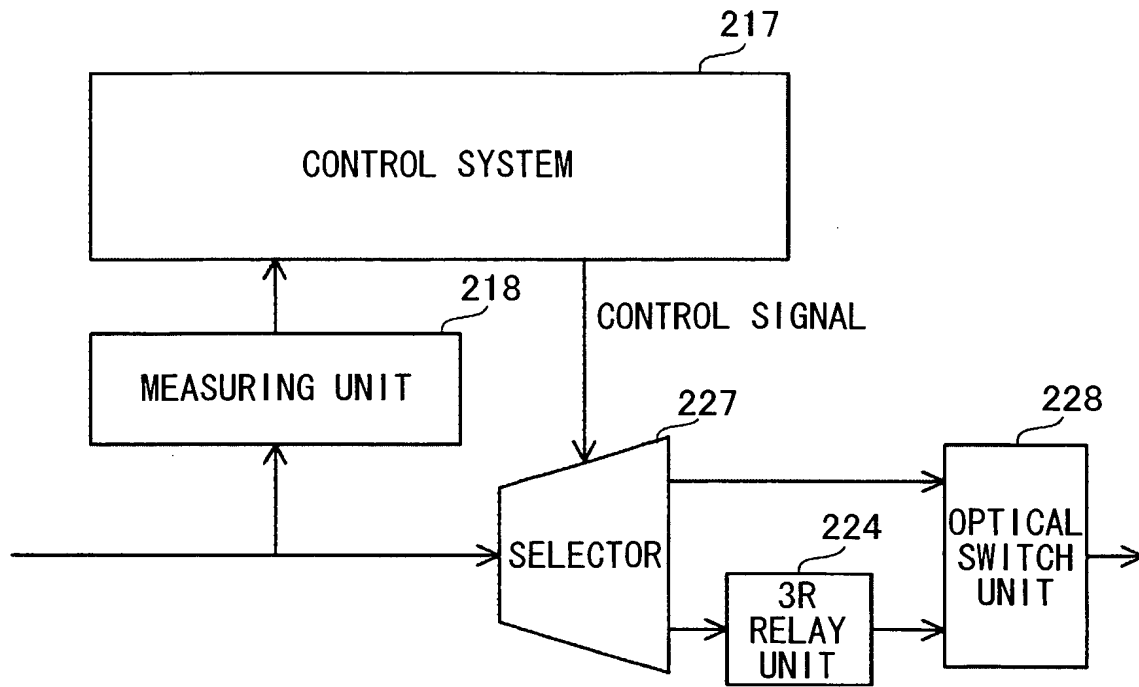


FIG. 54

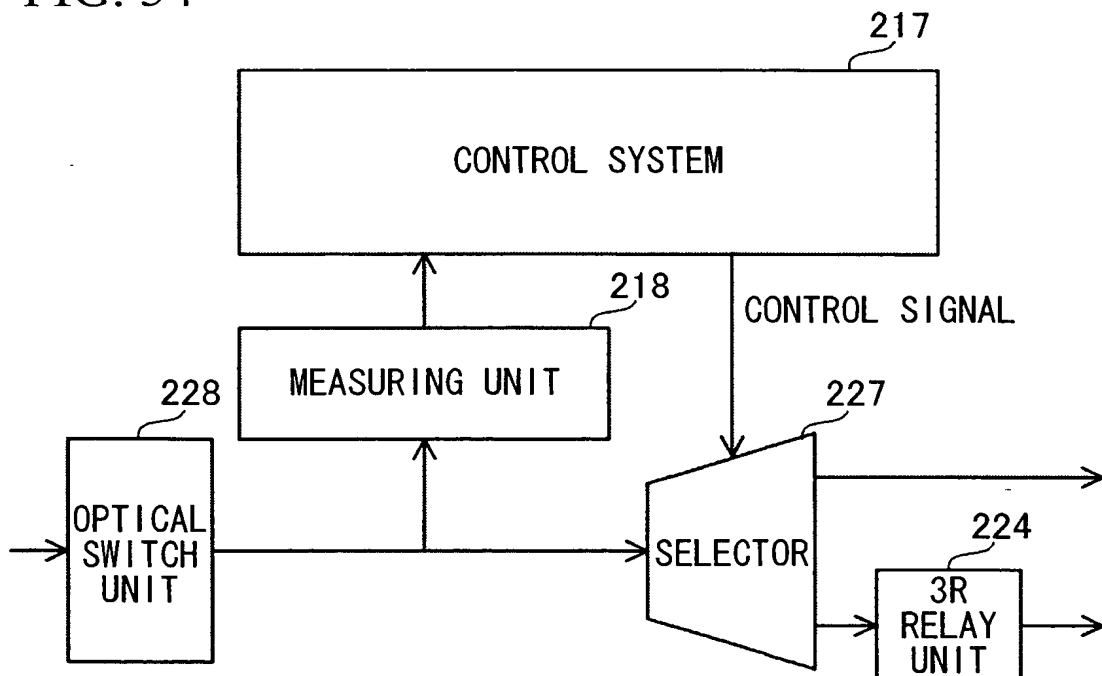


FIG. 55

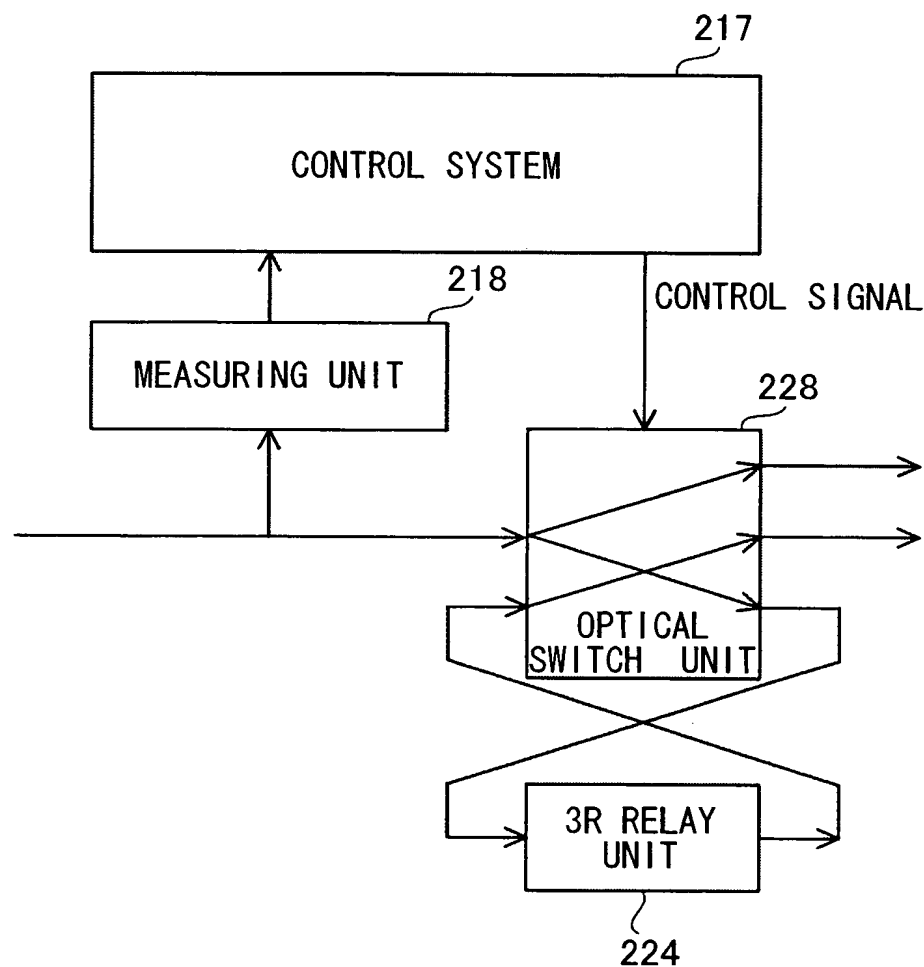


FIG. 56

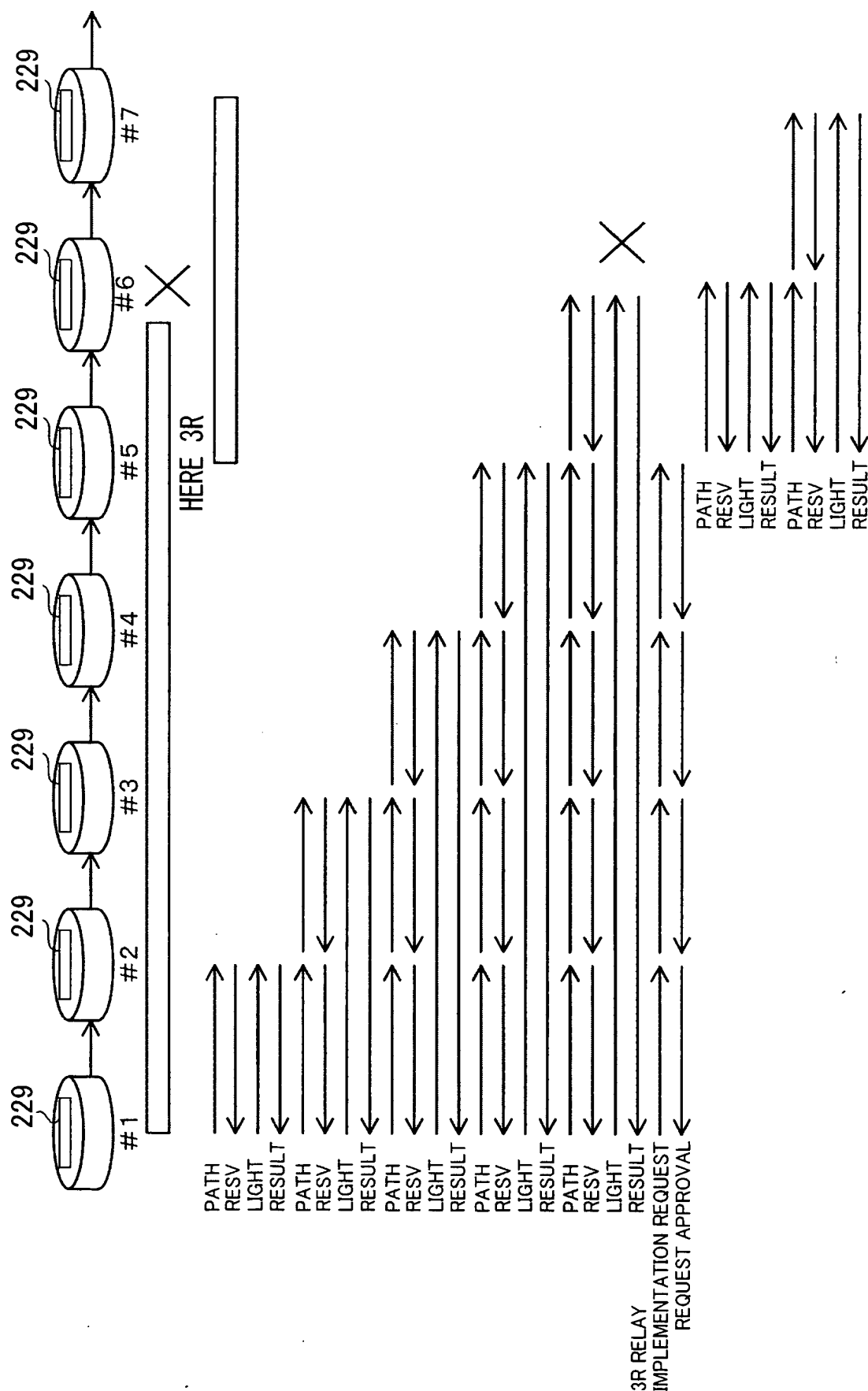


FIG. 57

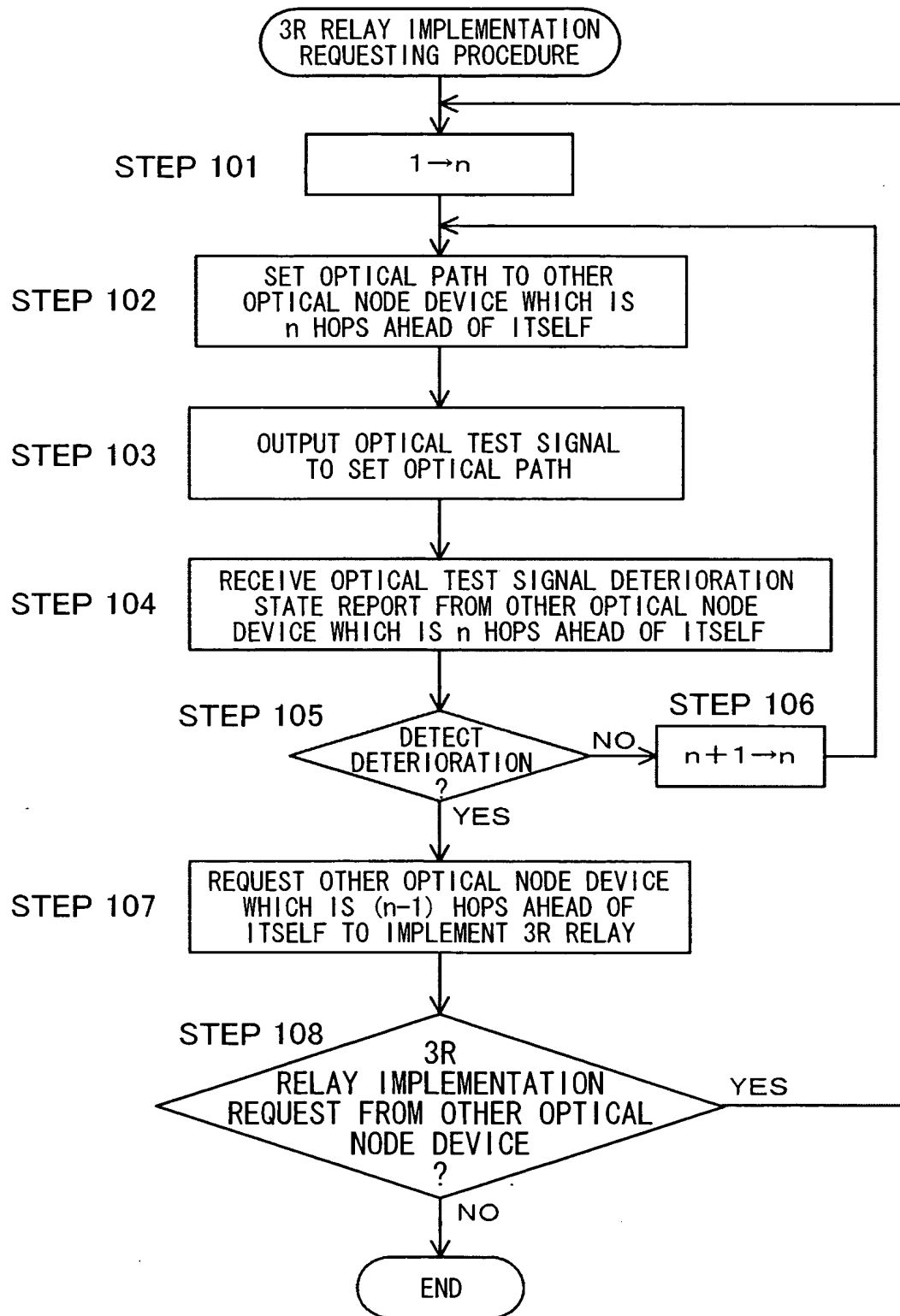


FIG. 58

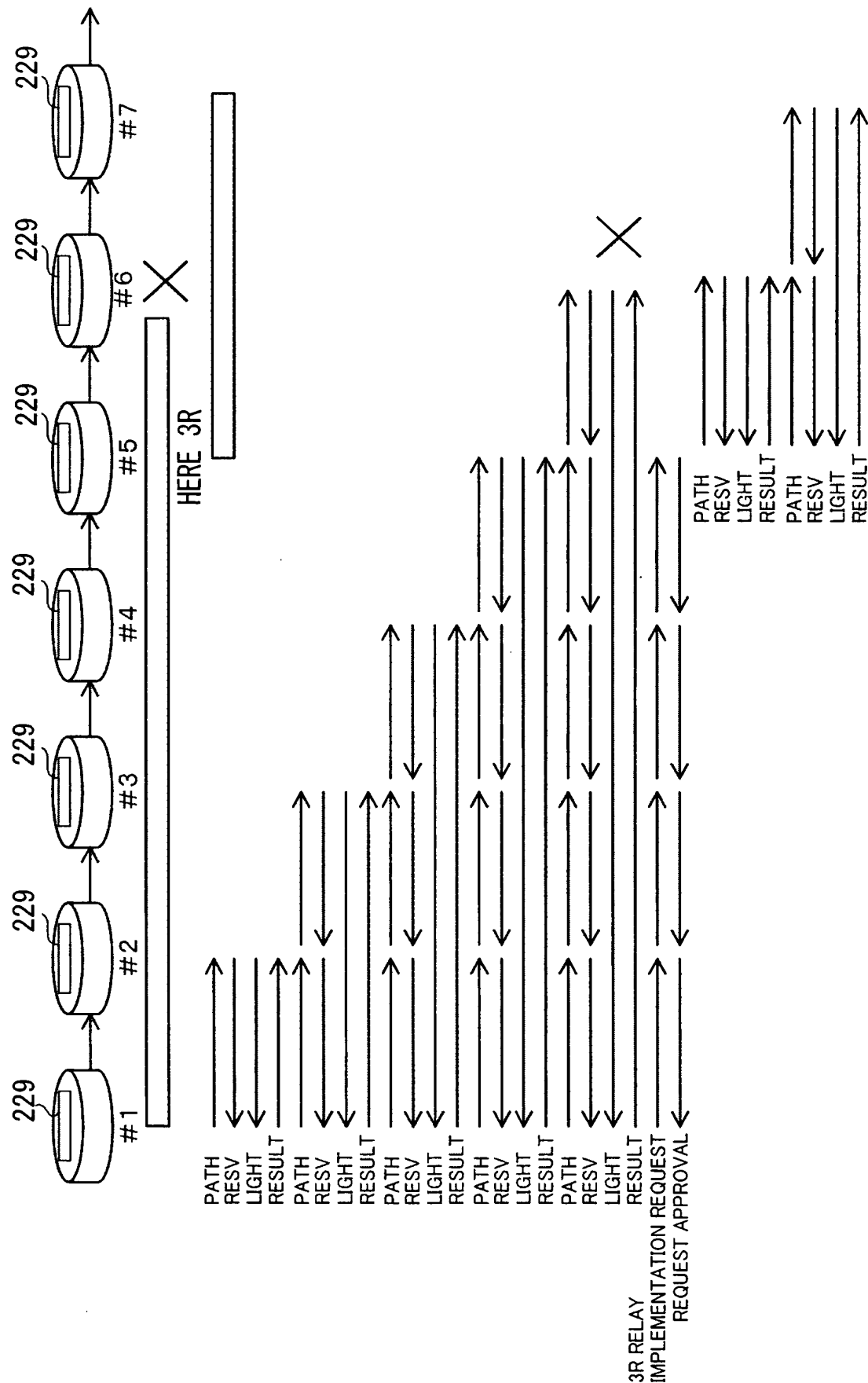


FIG. 59

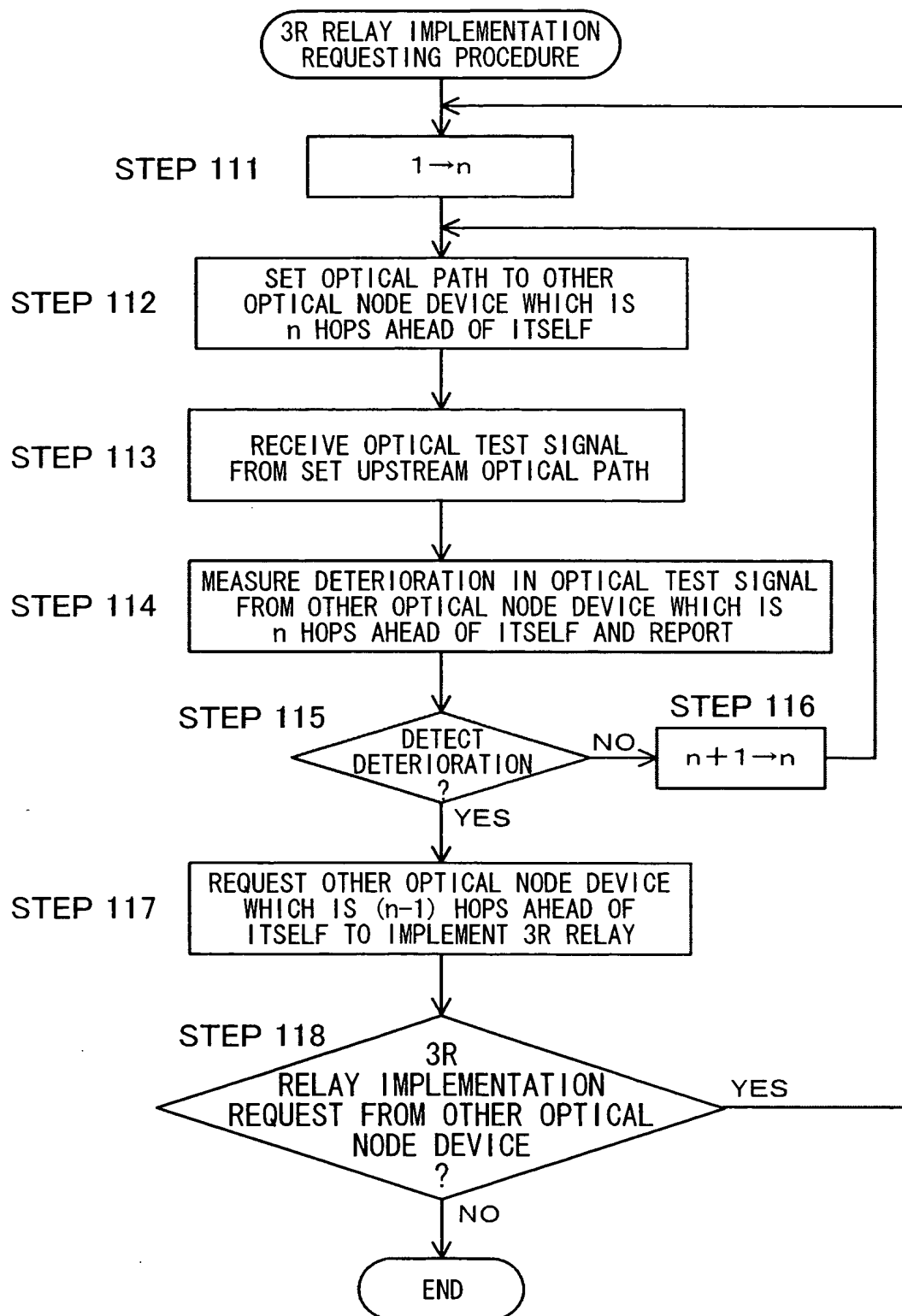


FIG. 60

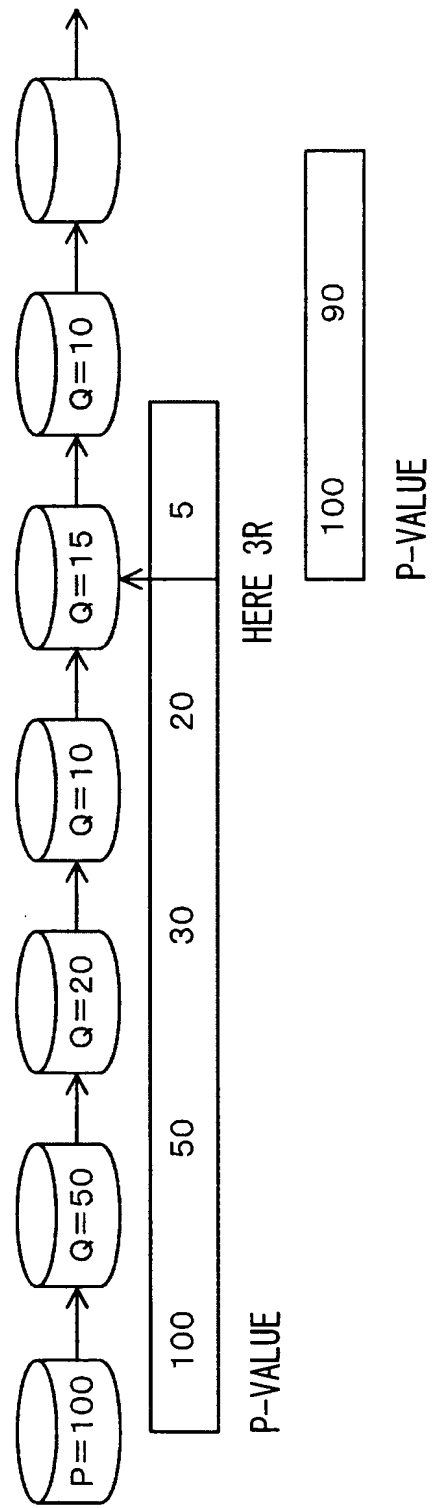


FIG. 61

240

SECTION	OPTICAL FIBER TYPE	WAVELENGTH BAND
1↔2	A	S
1↔4	D	L
1↔5	F	S
2↔3	A	S
2↔5	E	M
4↔5	C	S
4↔6	B	L
5↔7	B	L
6↔7	F	S
6↔8	C	L

234

233

235

250

P OR P' → SUBTRACTION UNIT

(P-Q) OR (P'-Q)

→ COMPARISON UNIT

(P-Q) OR (P'-Q)

→ TRANSFER (P-Q) OR (P'-Q)

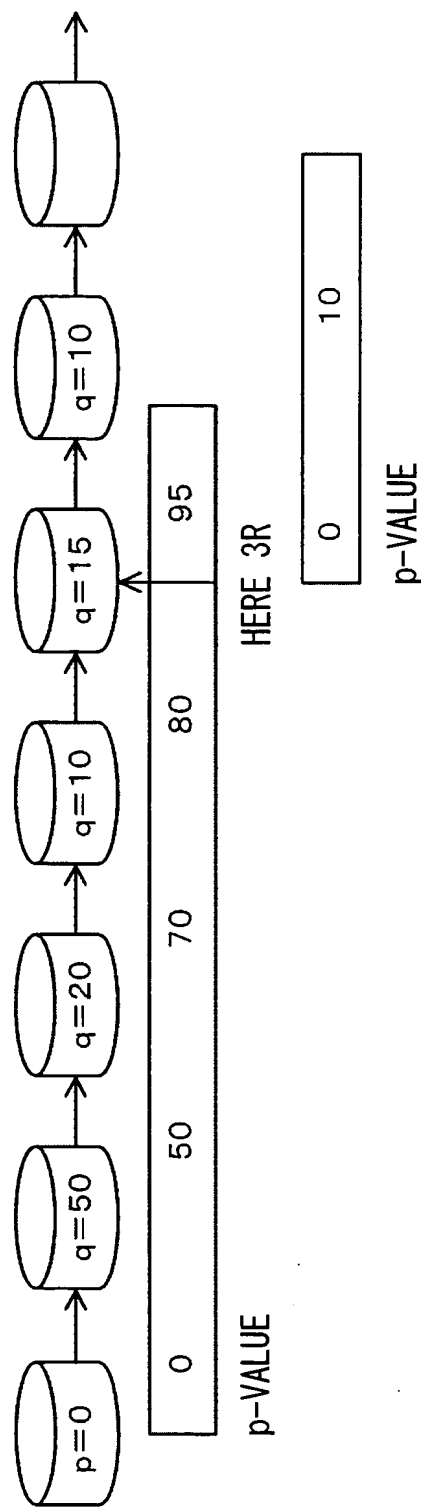
→ P-VALUE SENDING UNIT

→ P

RECOGNIZE 3R DESTINATION NODE

	A	B	C	D	E	F
S	-2	-1	-3	-4	-2	-5
L	-1	-4	-2	-1	-2	-2
M	-5	-3	-1	-4	-5	-2

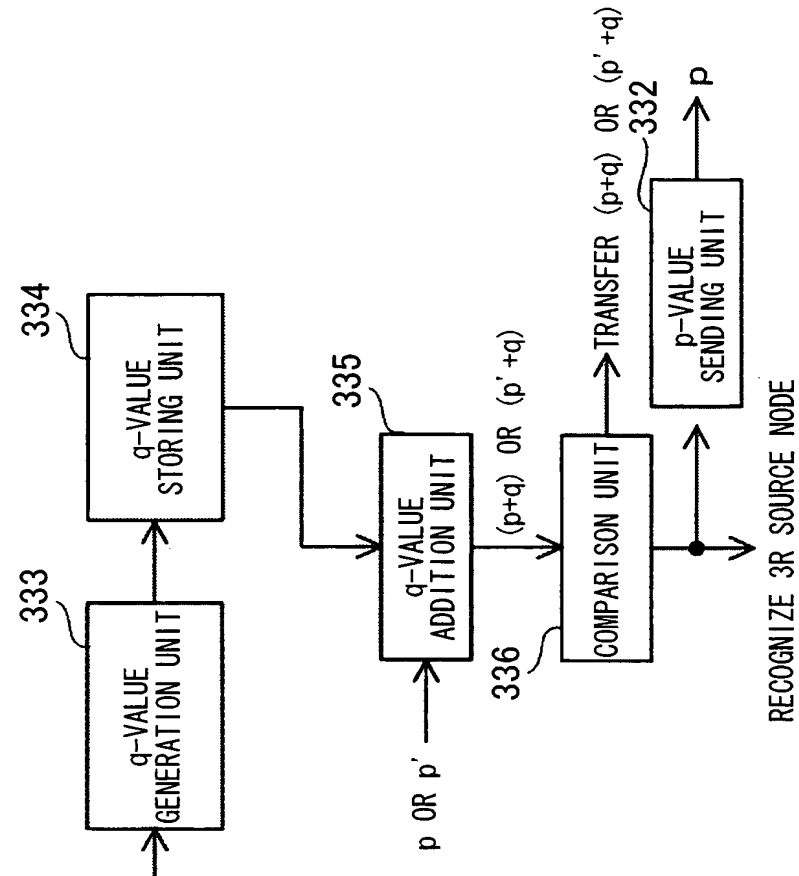
FIG. 62



240 FIG. 63

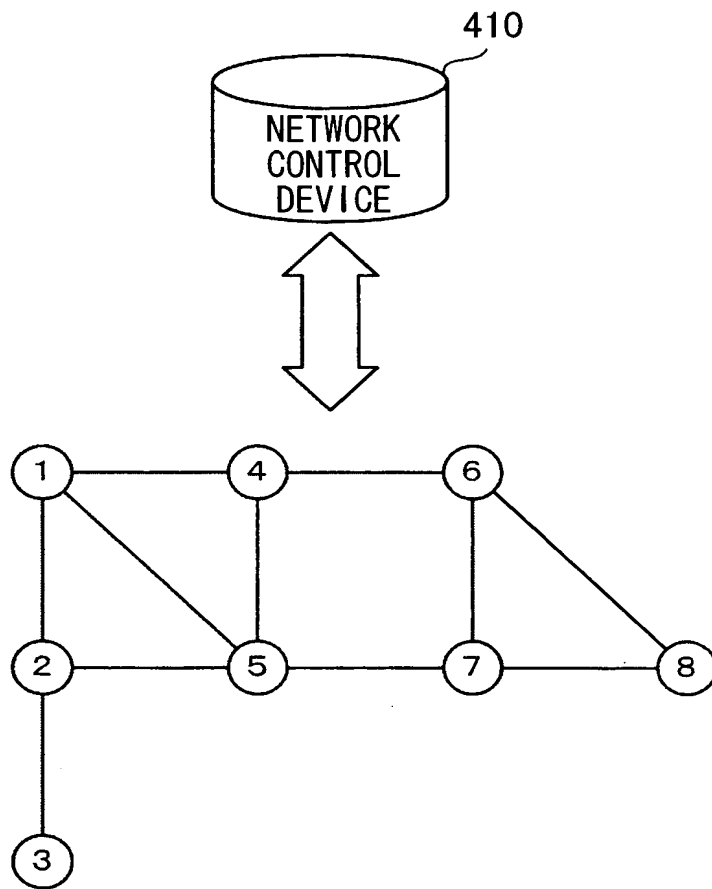
SECTION	OPTICAL FIBER TYPE	WAVELENGTH BAND
1↔2	A	S
1↔4	D	L
1↔5	F	S
2↔3	A	S
2↔5	E	M
4↔5	C	S
4↔6	B	L
5↔7	B	L
6↔7	F	S
6↔8	C	L

	A	B	C	D	E	F
S	-2	-1	-3	-4	-2	-5
L	-1	-4	-2	-1	-2	-2
M	-5	-3	-1	-4	-5	-2



44/66

FIG. 64



45/66

FIG. 65

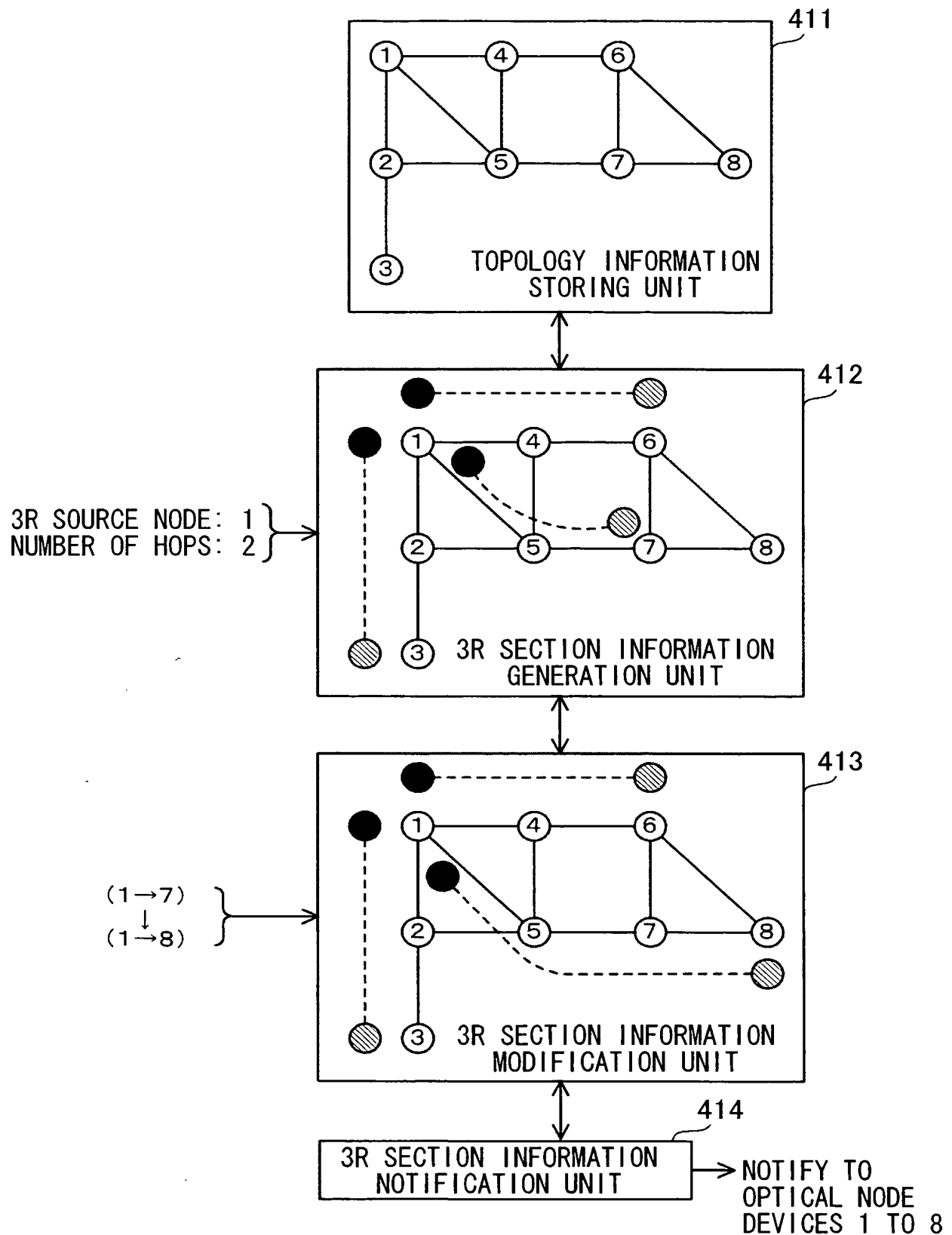
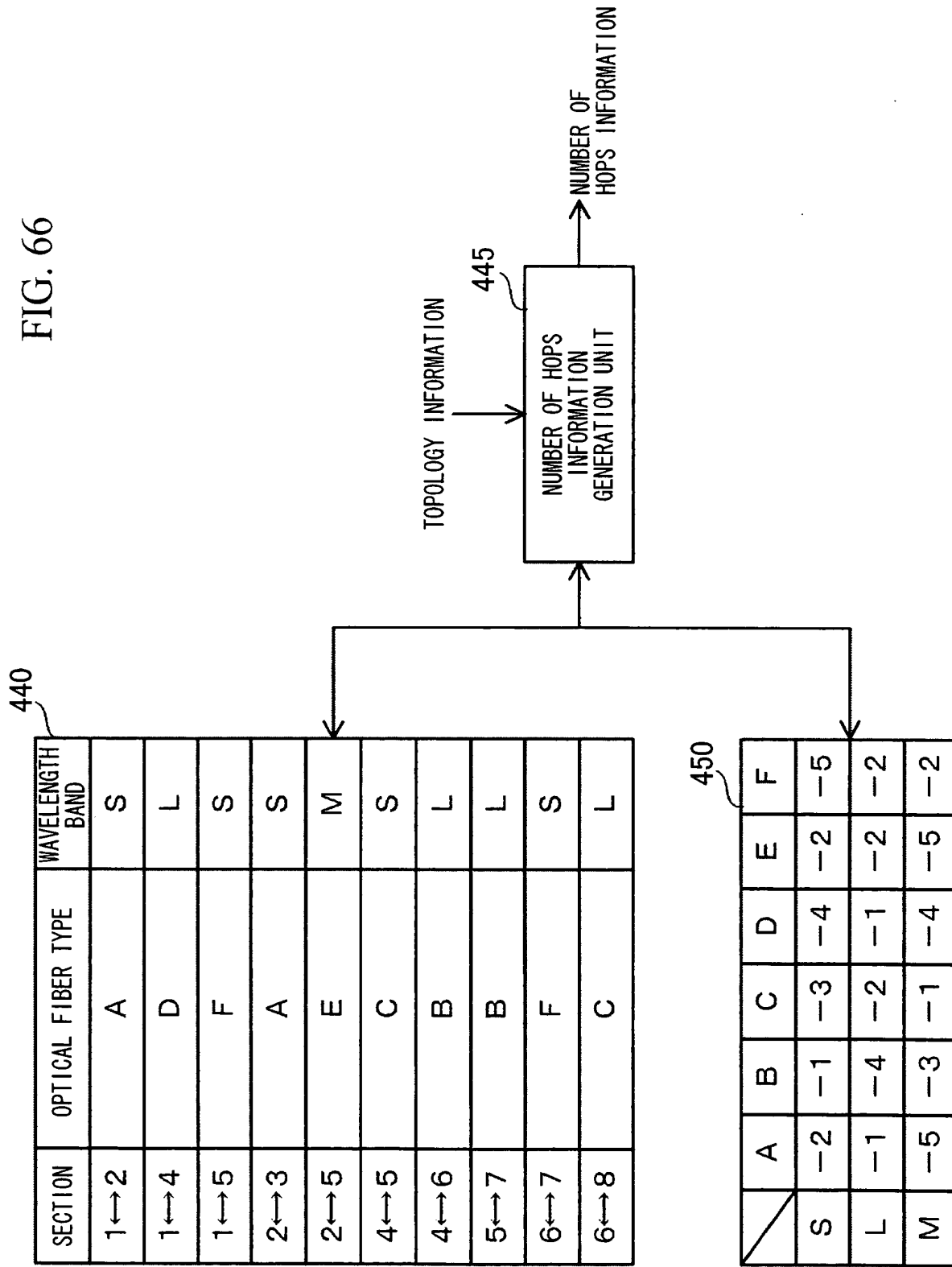
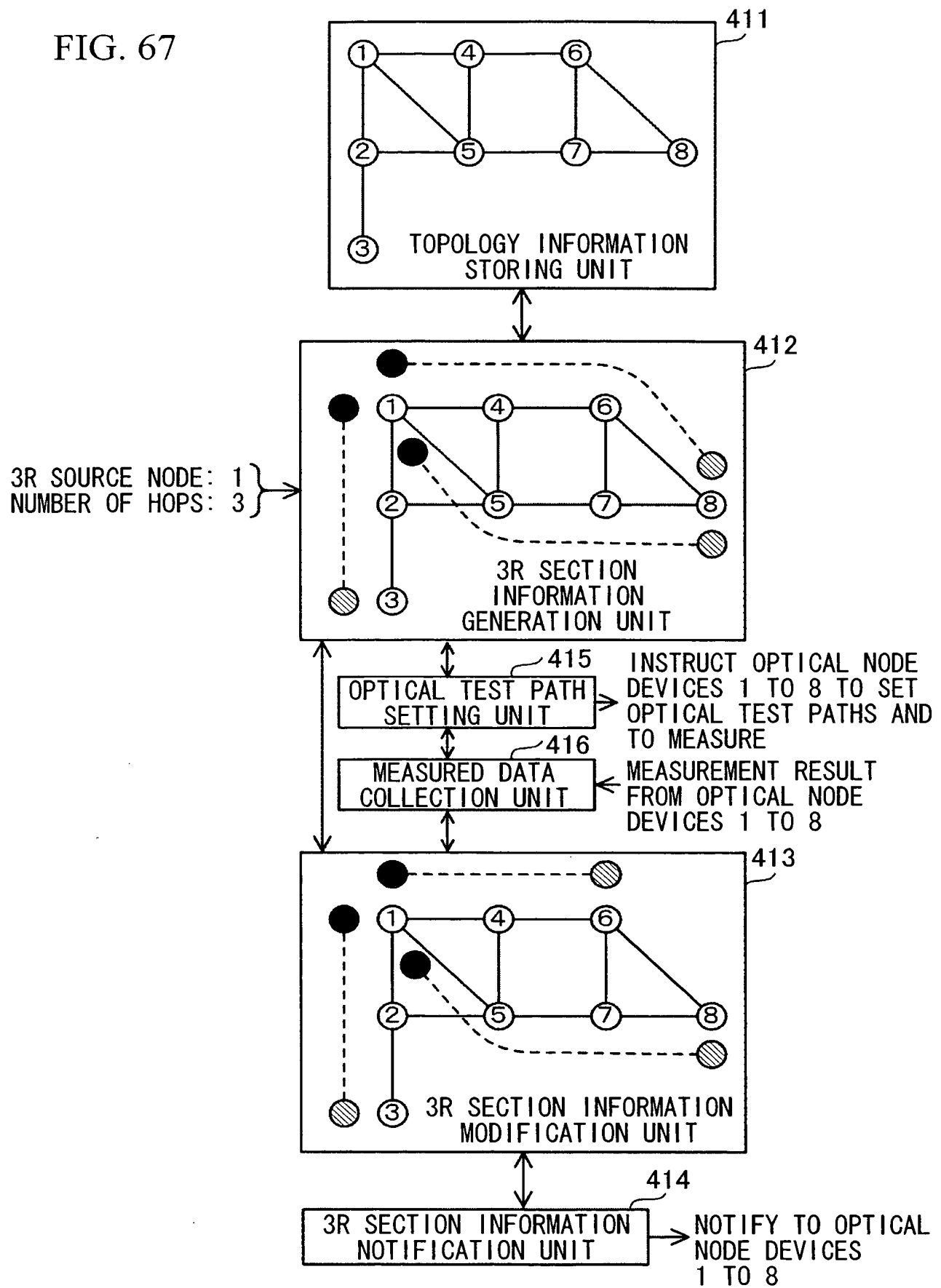


FIG. 66



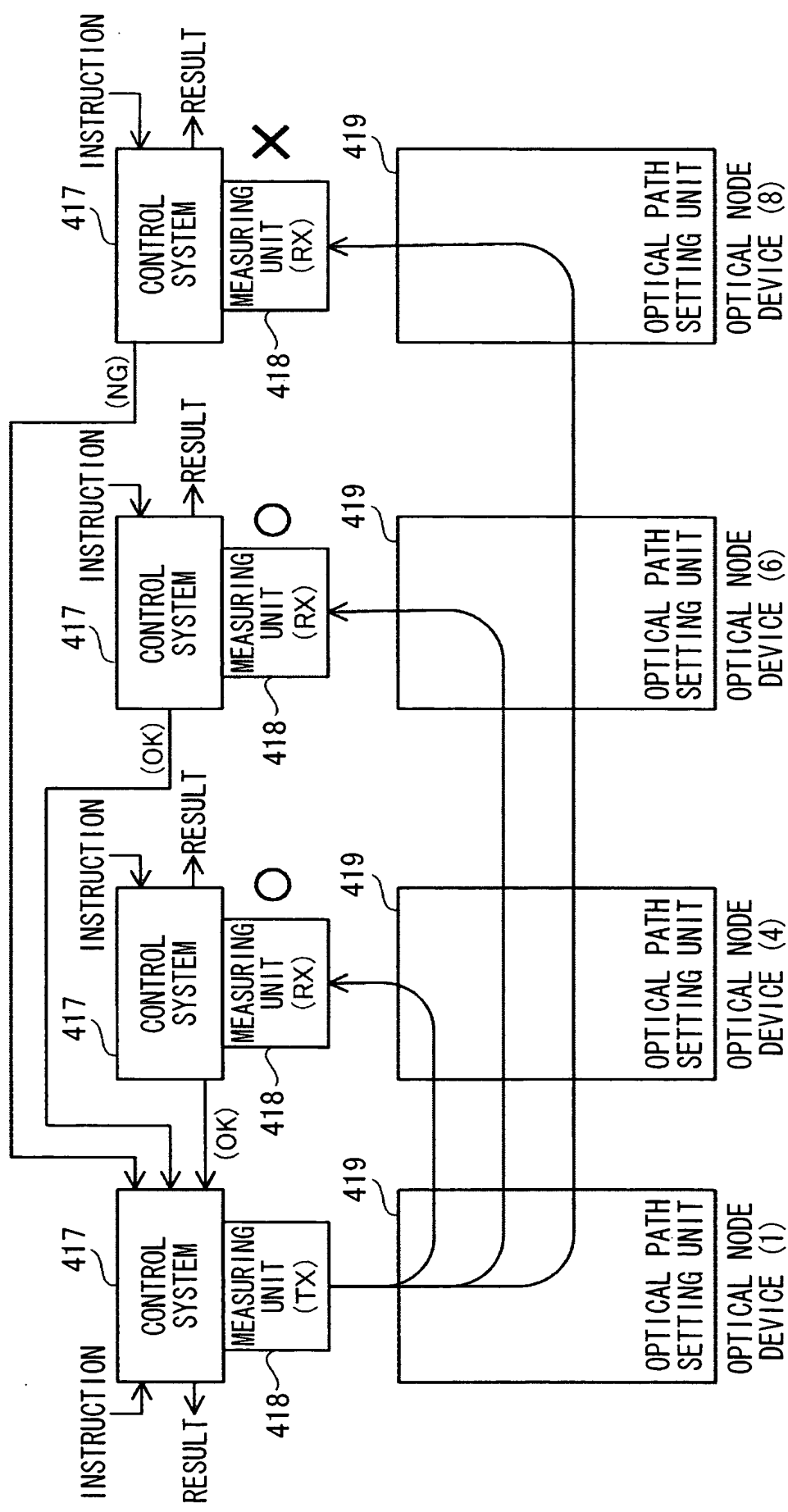
47/66

FIG. 67



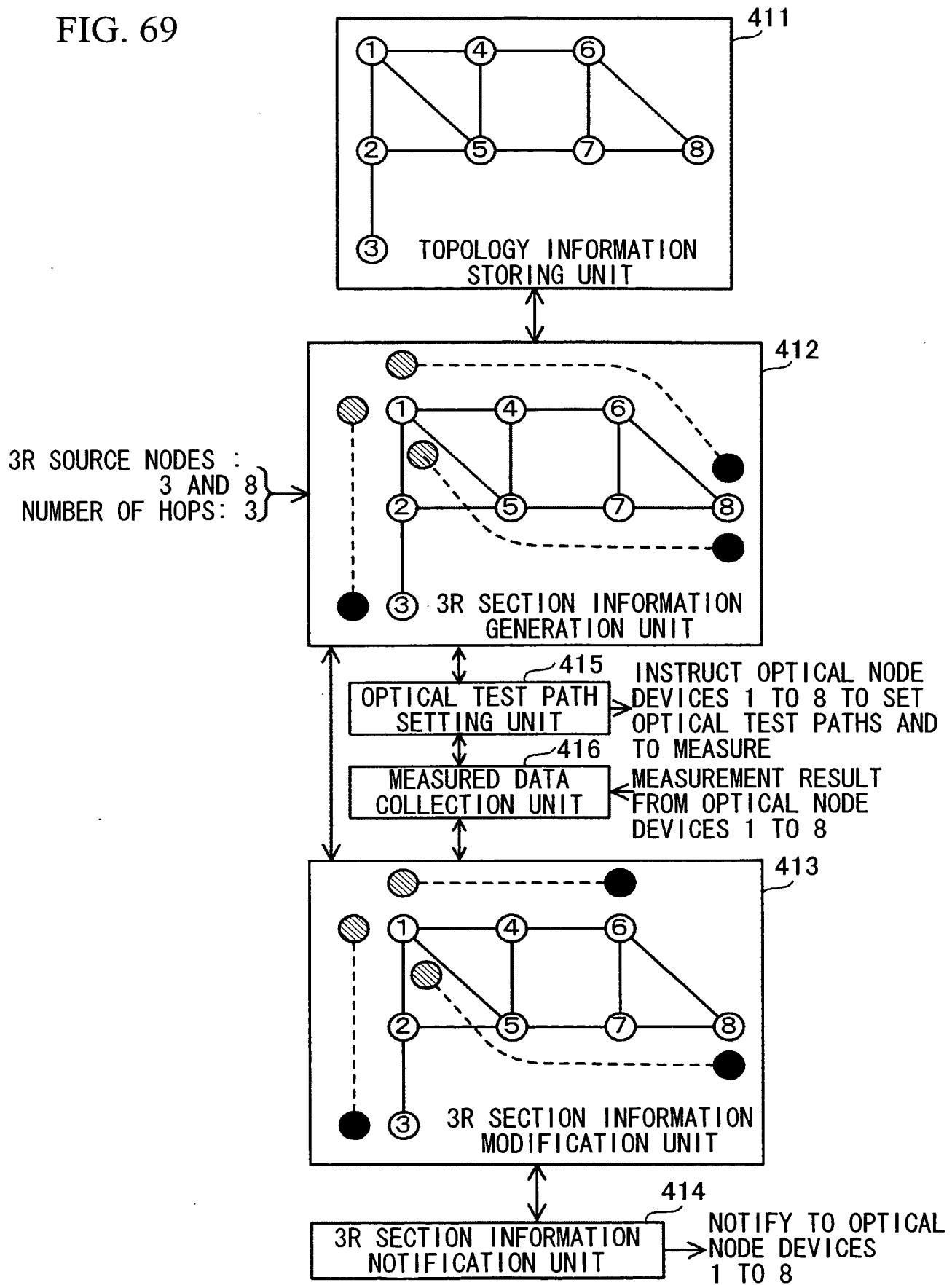
48/66

FIG. 68



49/66

FIG. 69



50/66

FIG. 70

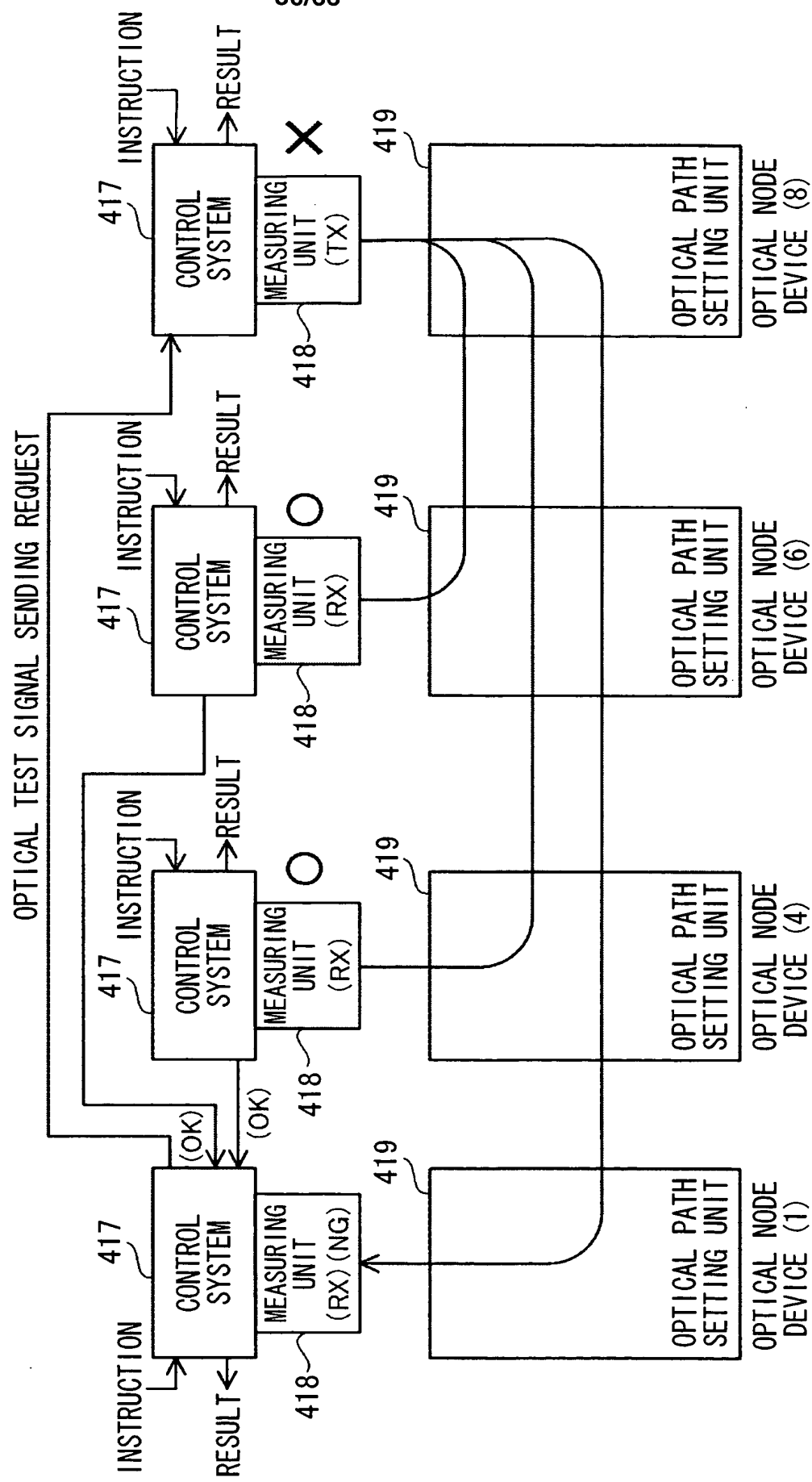


FIG.71

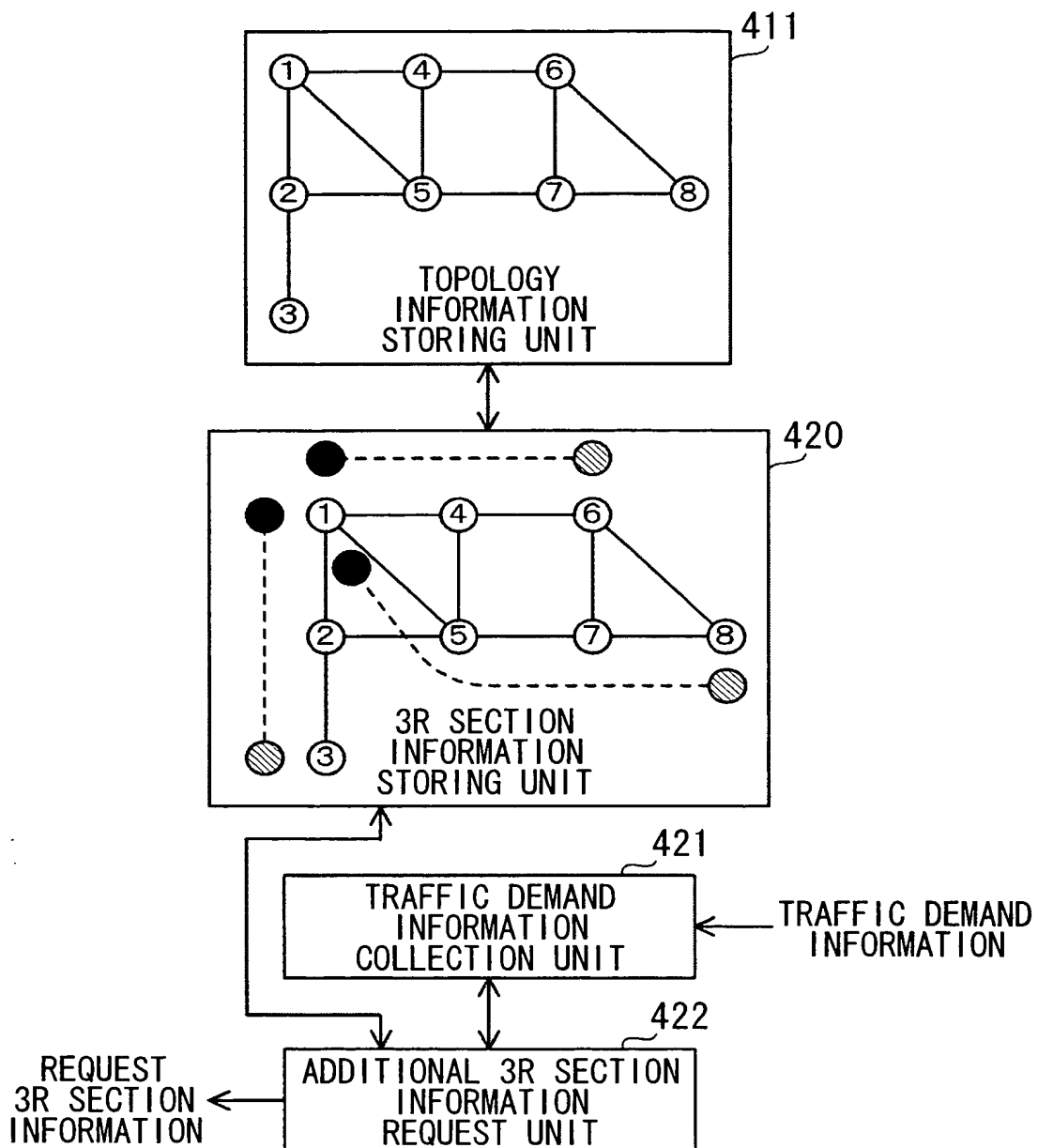


FIG.72

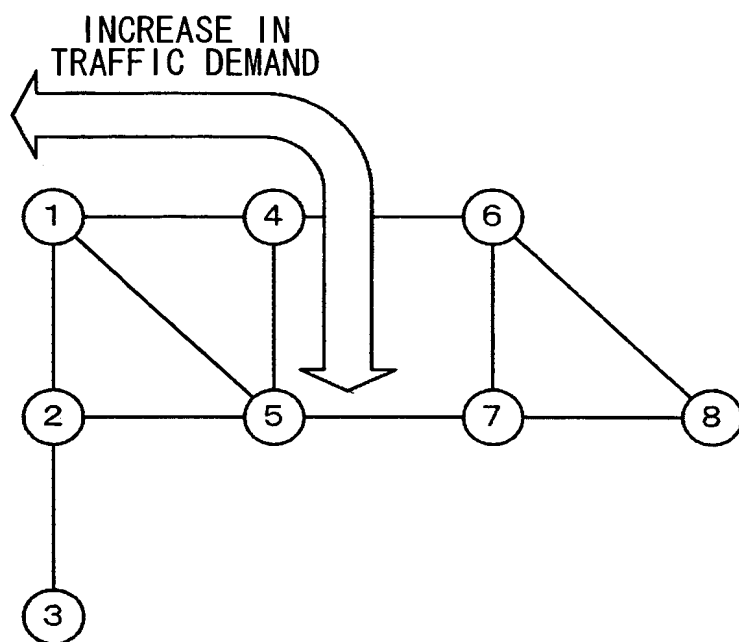


FIG.73

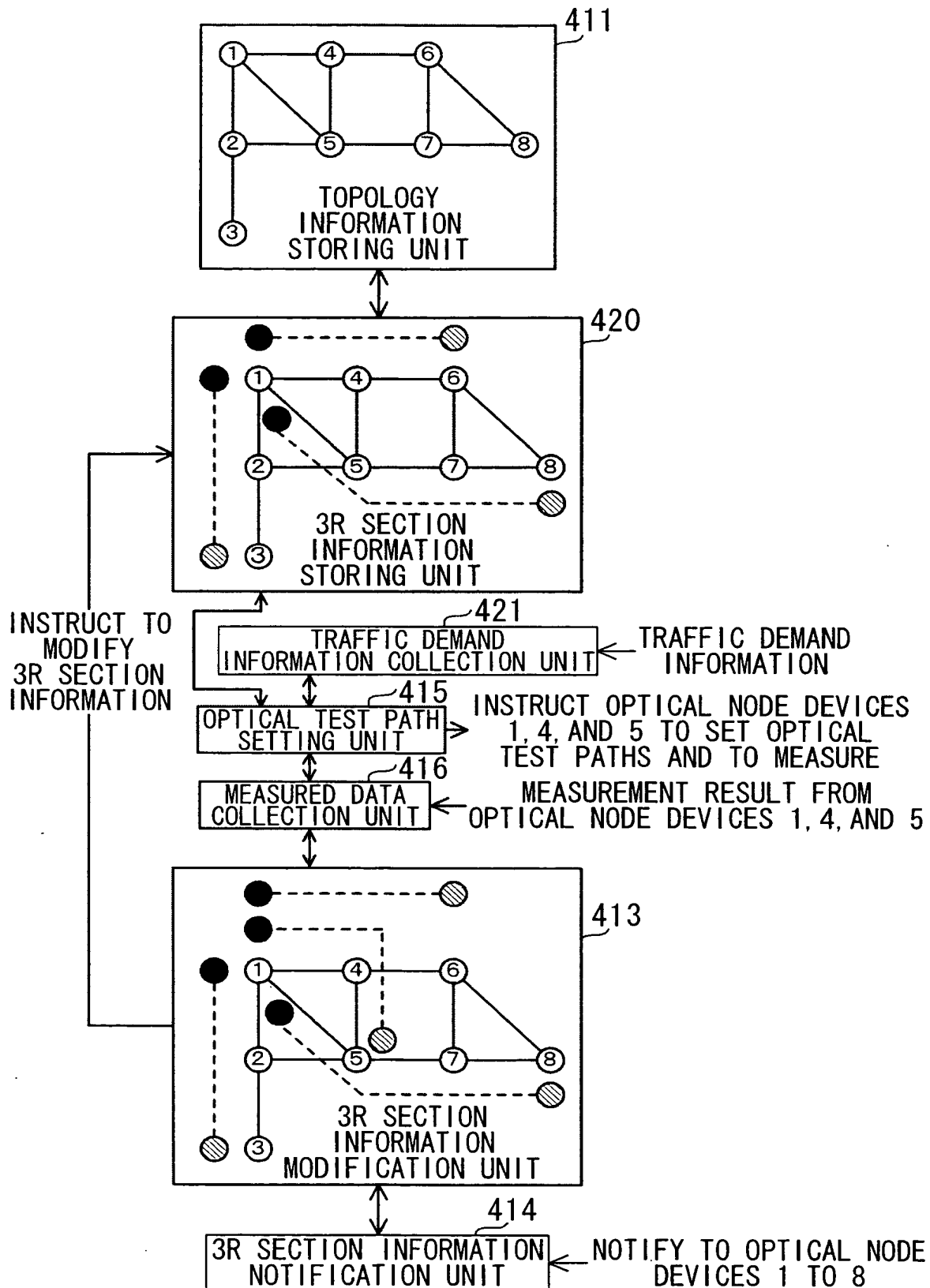
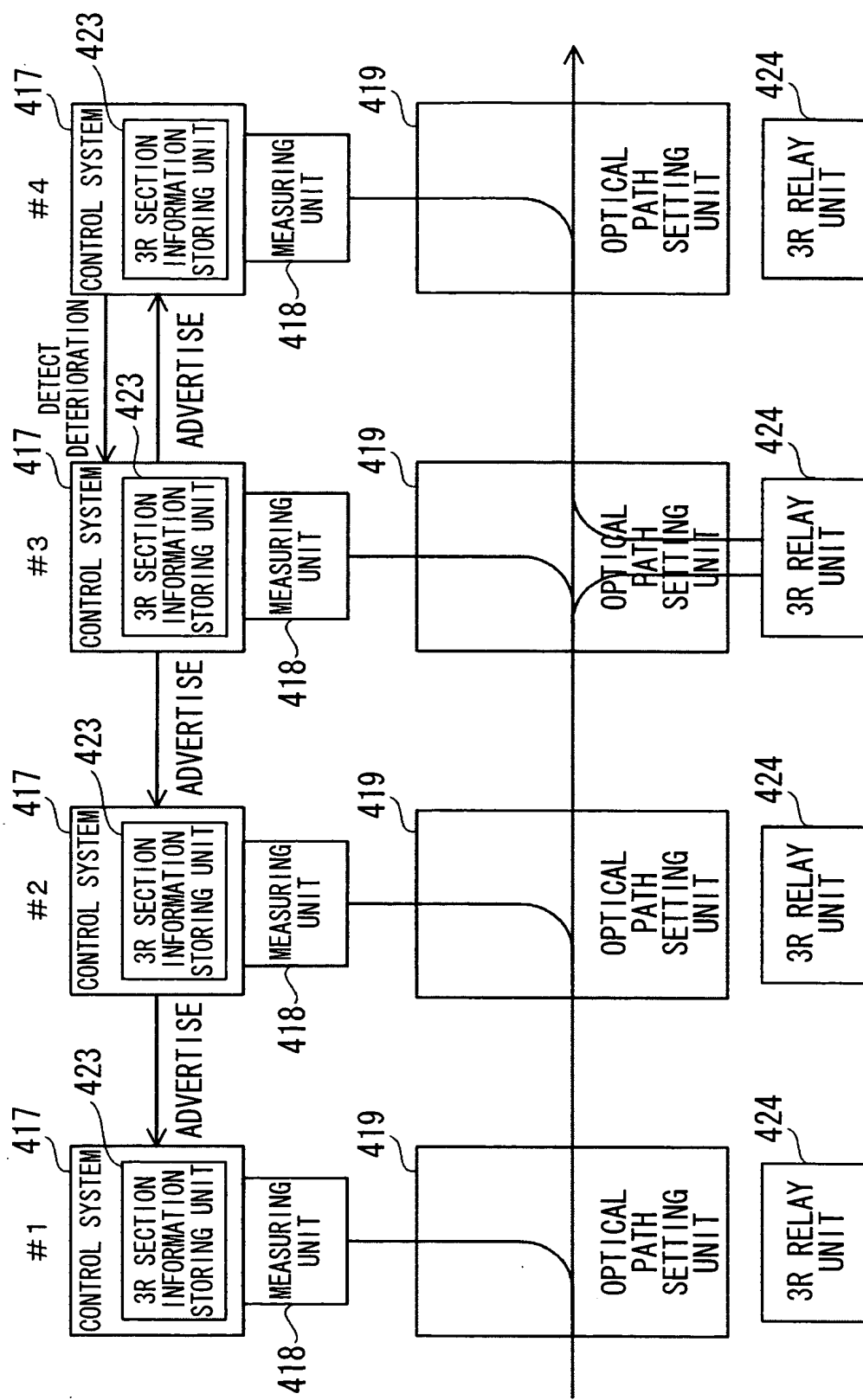


FIG. 74



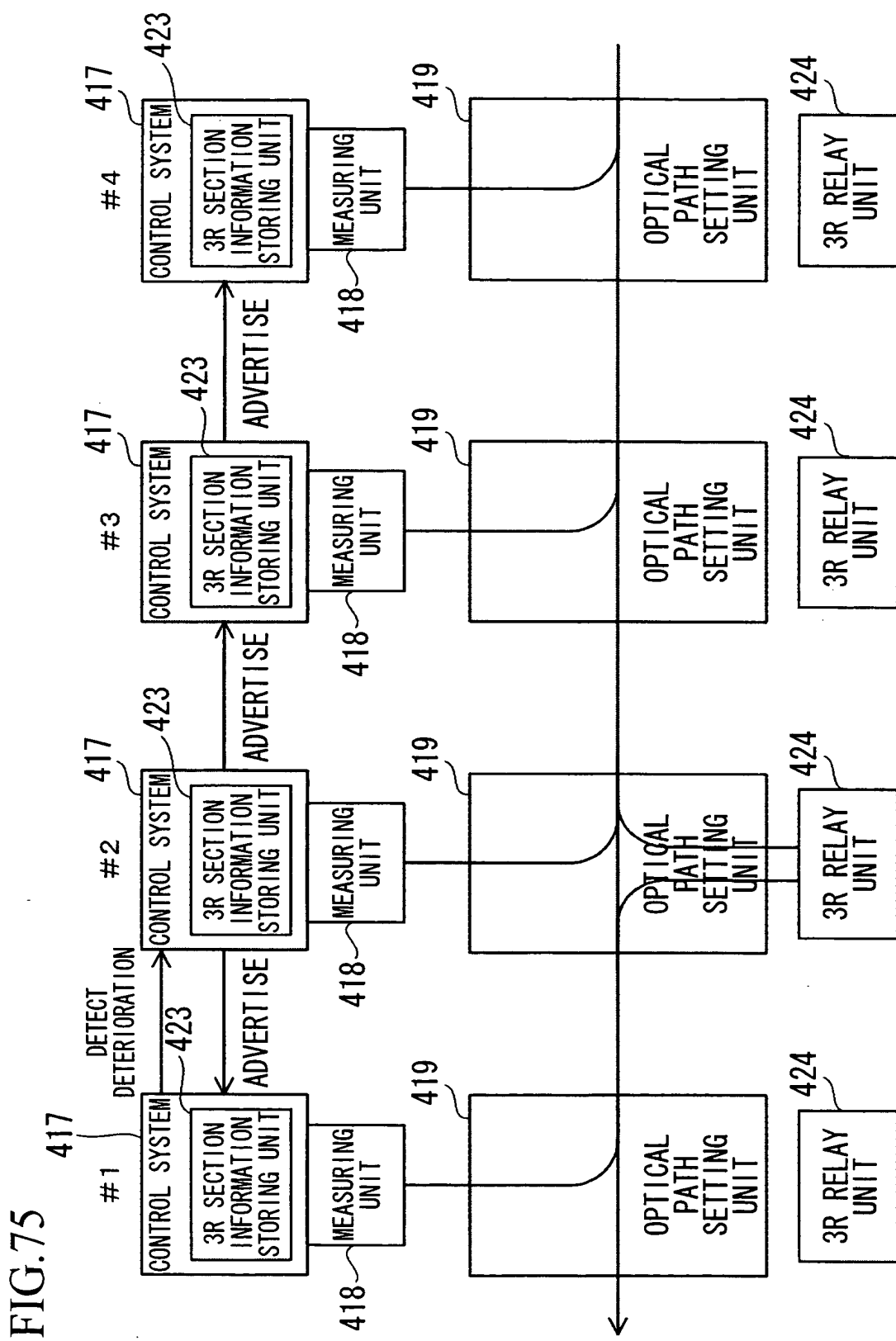


FIG.76

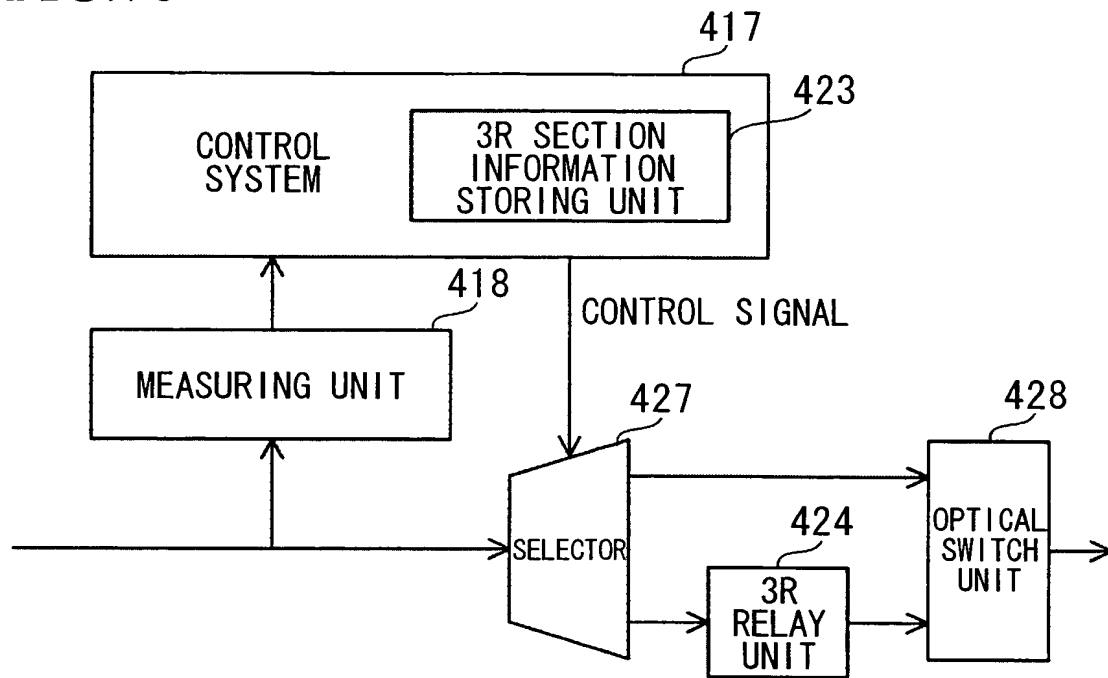


FIG.77

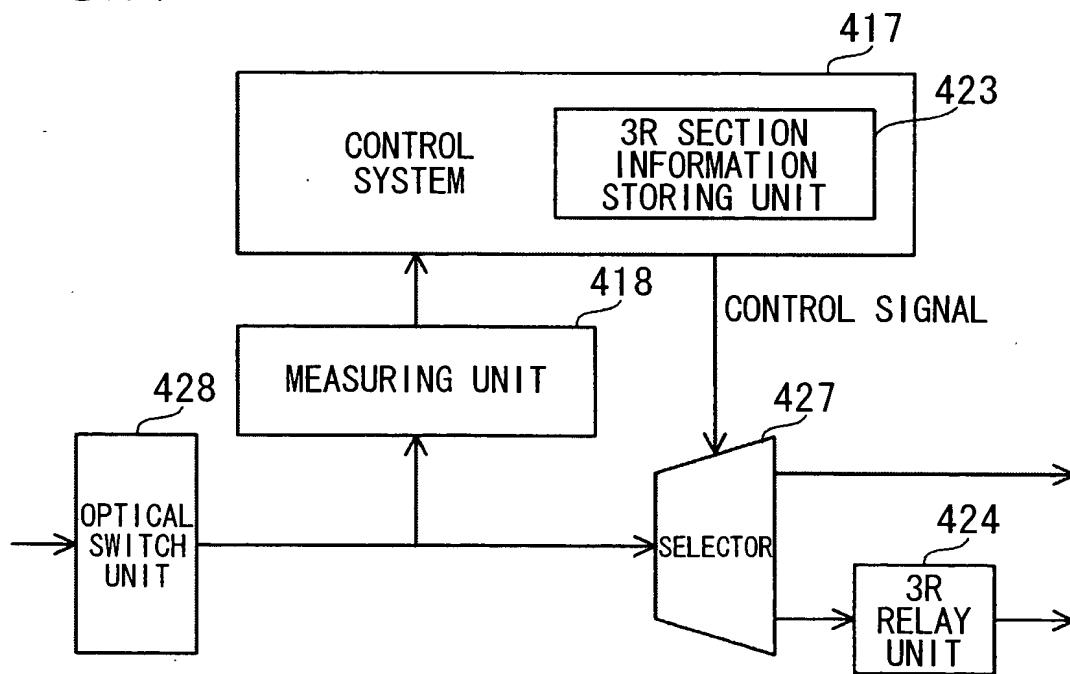


FIG.78

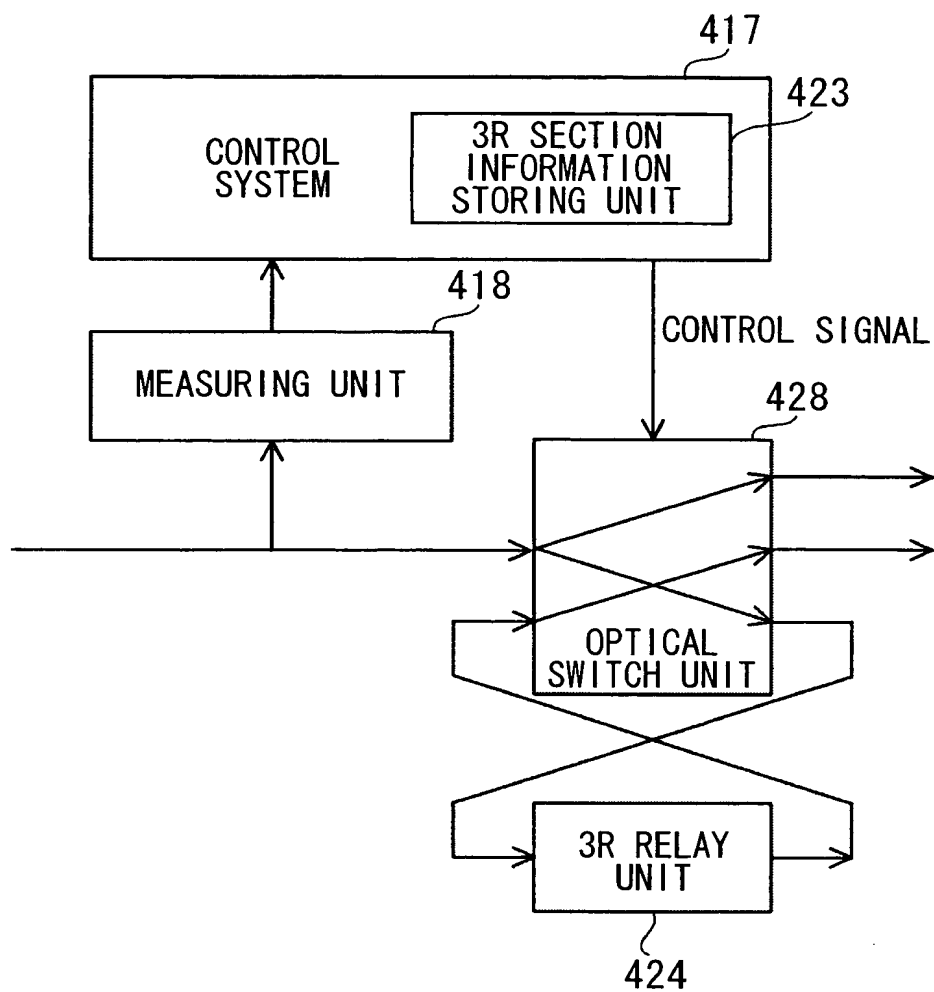
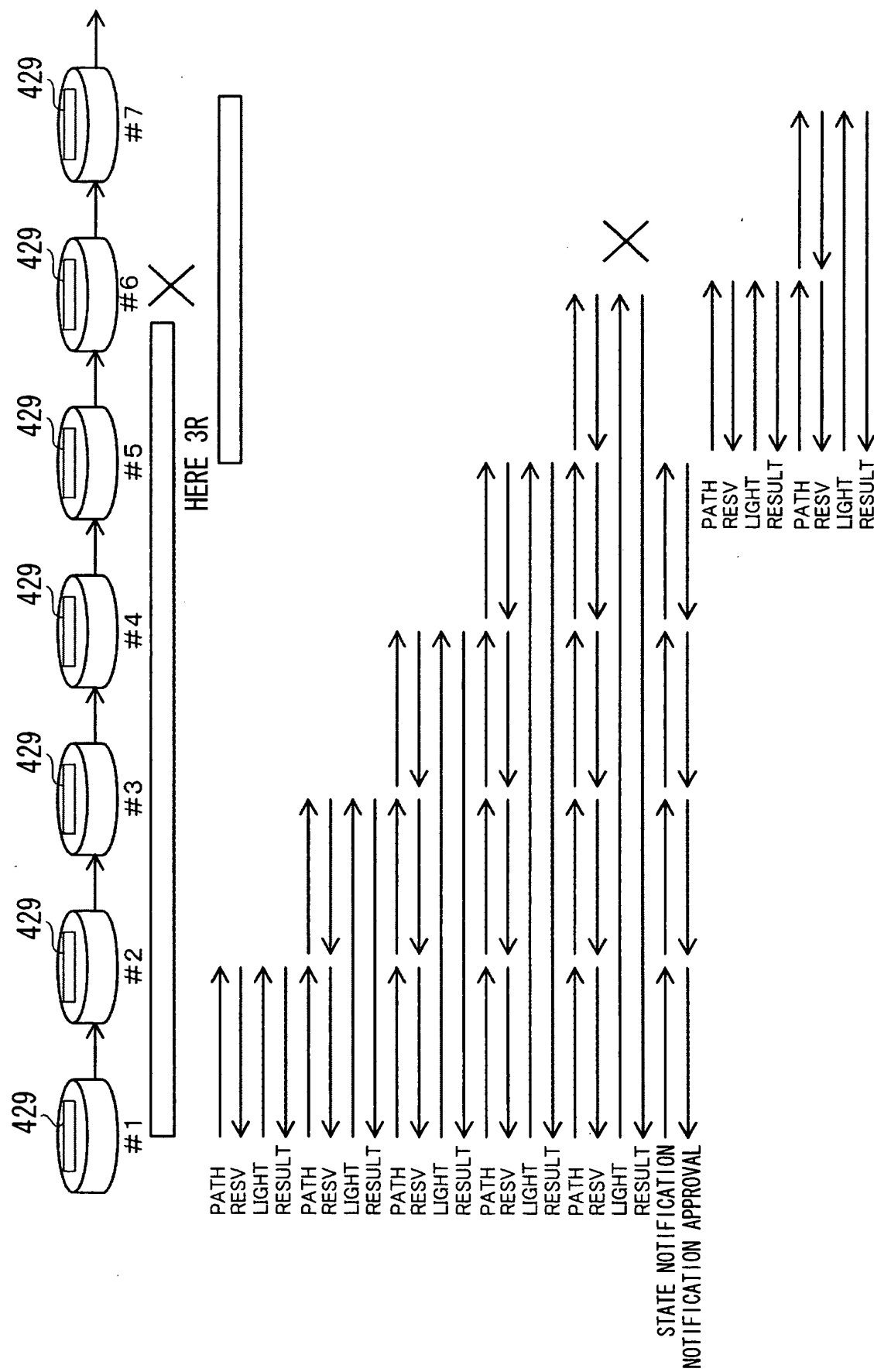


FIG.79



59/66

FIG.80

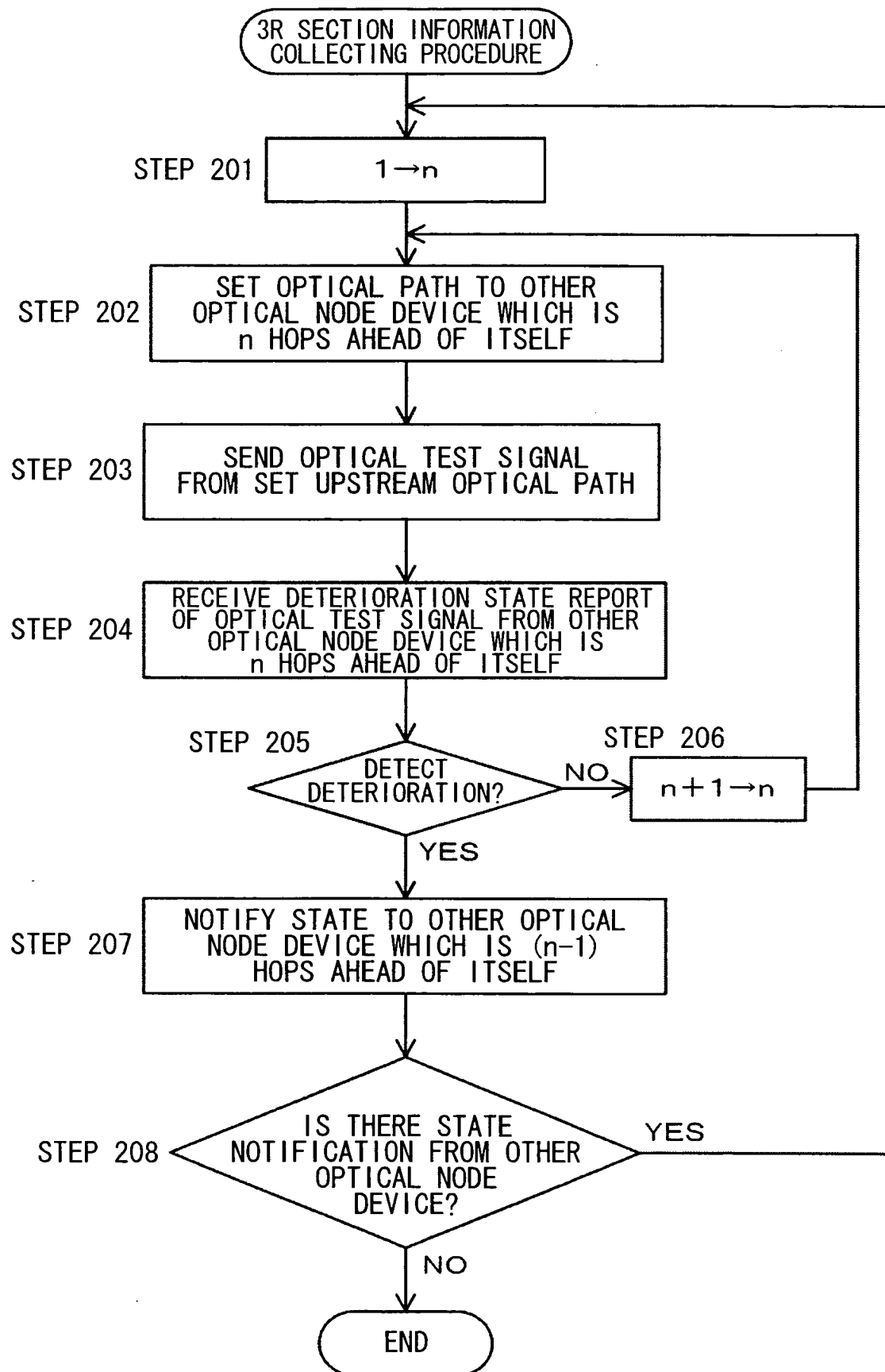


FIG. 81

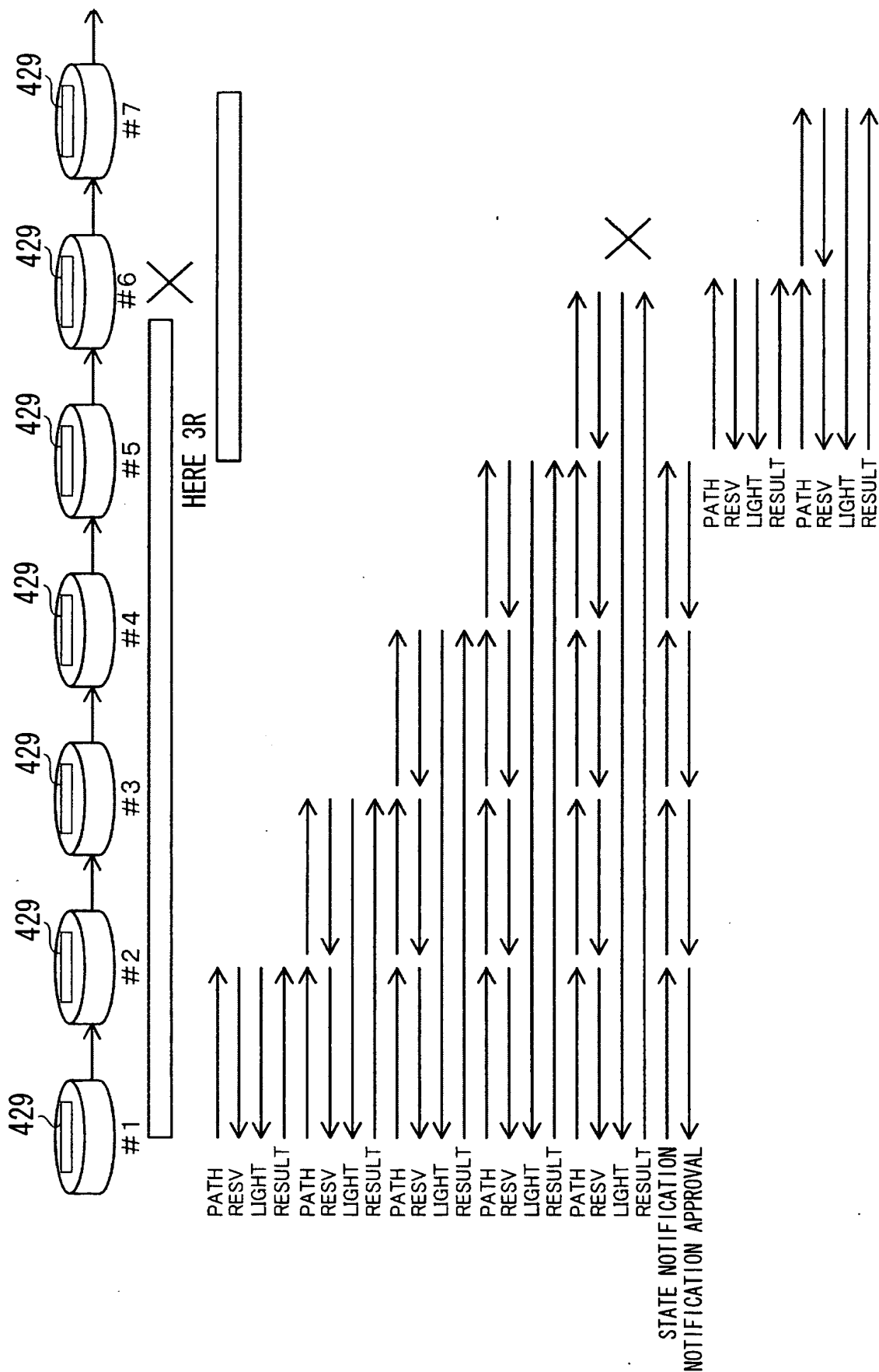


FIG.82

61/66

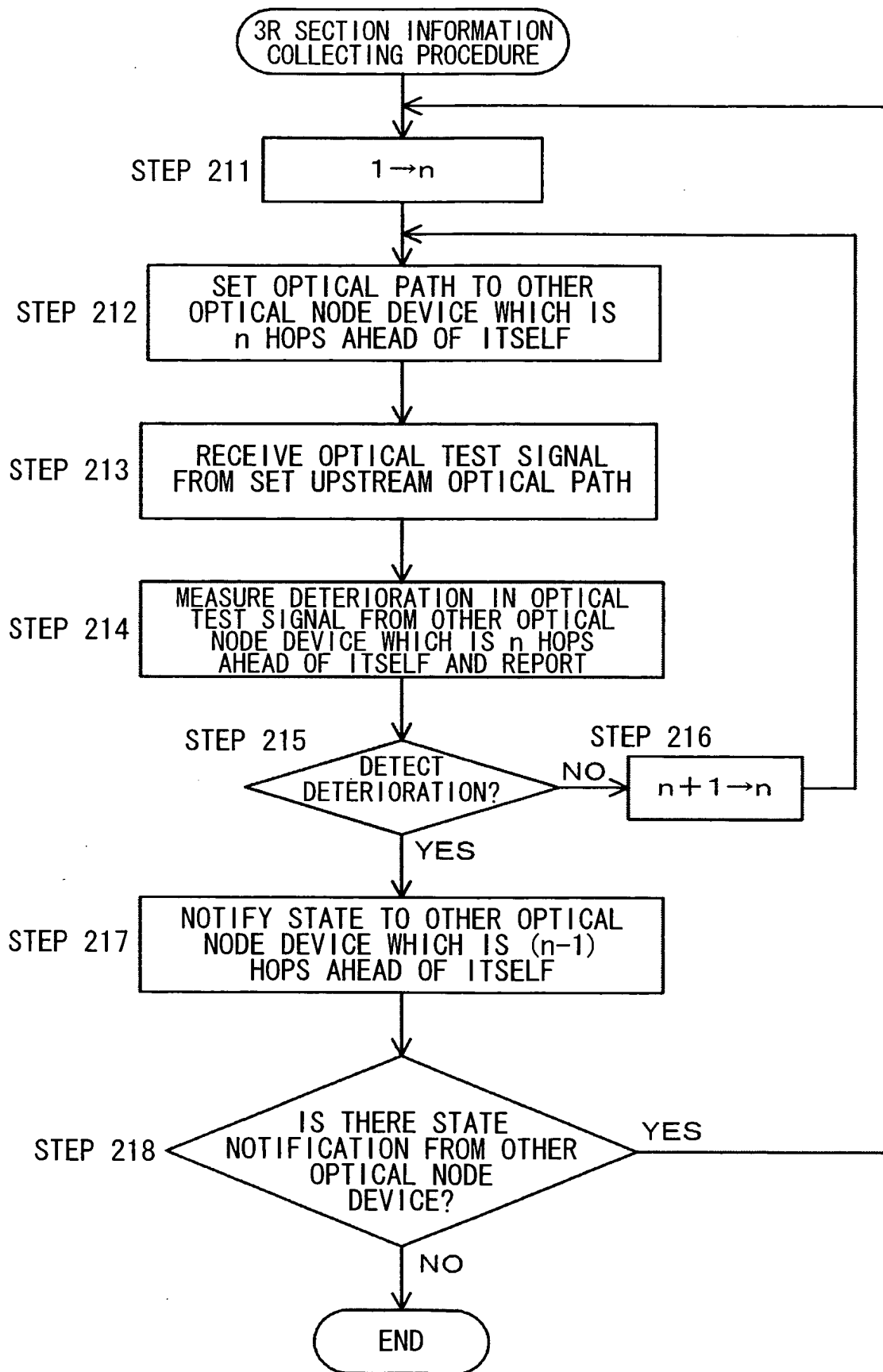


FIG.83

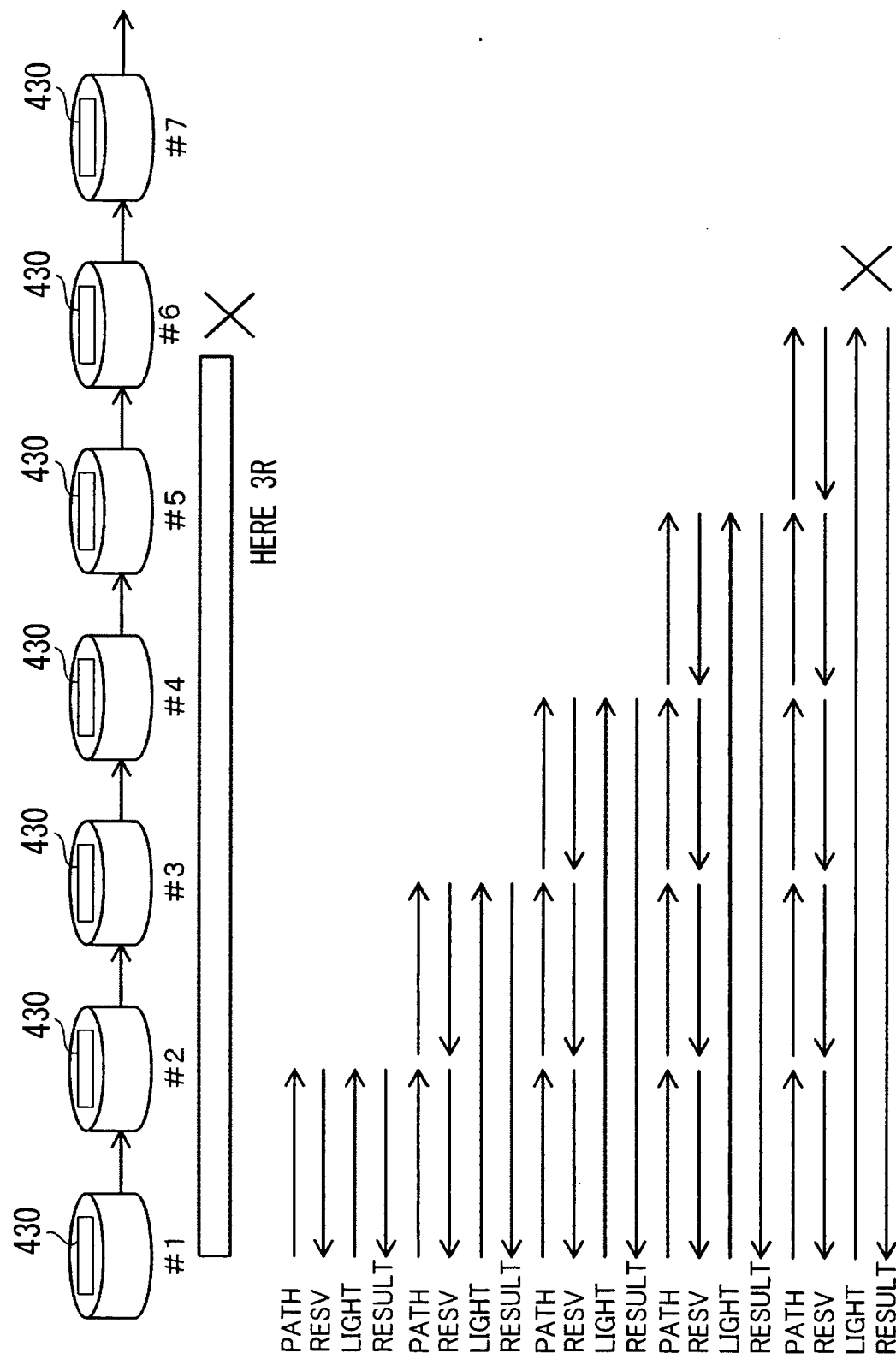


FIG.84

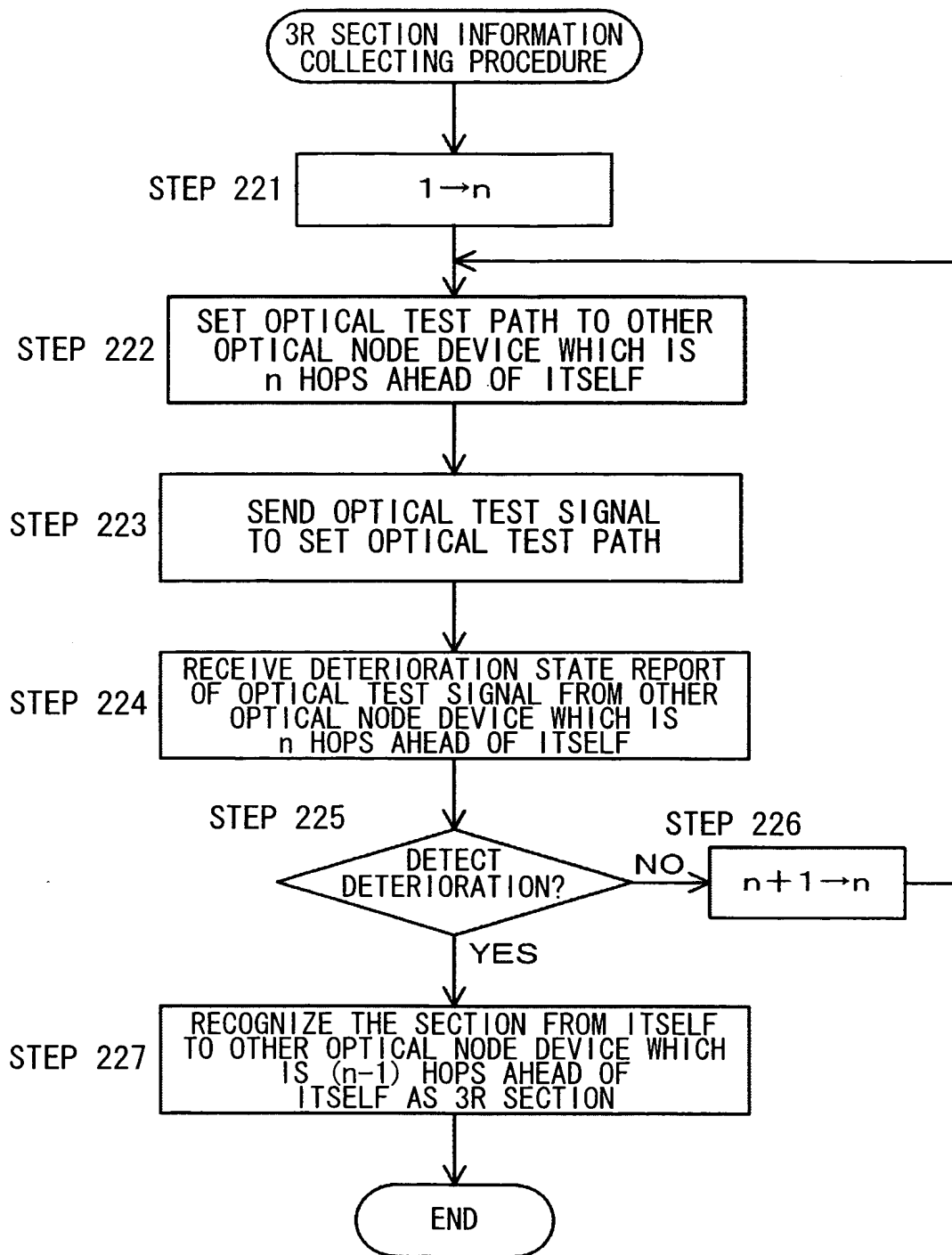


FIG.85

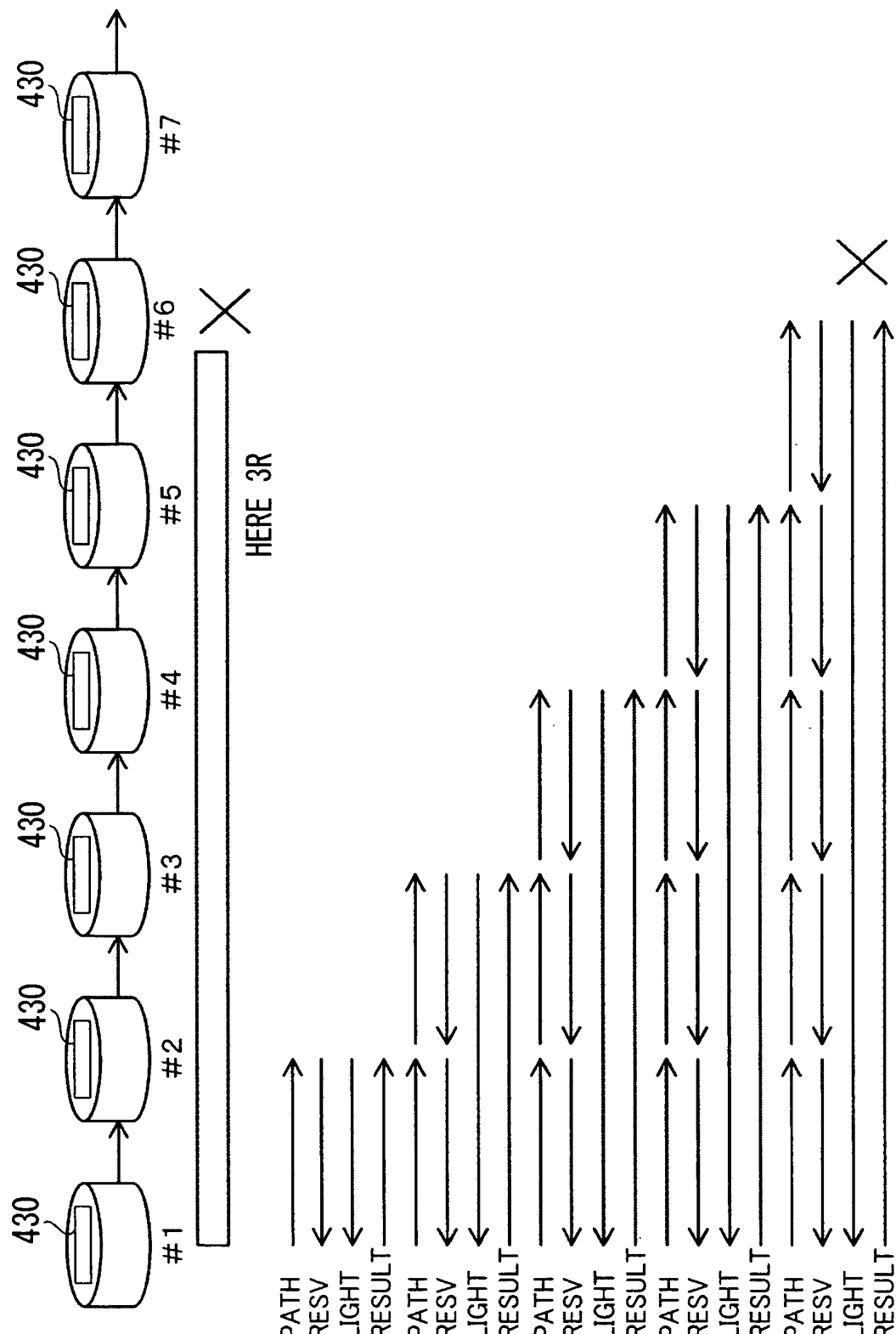
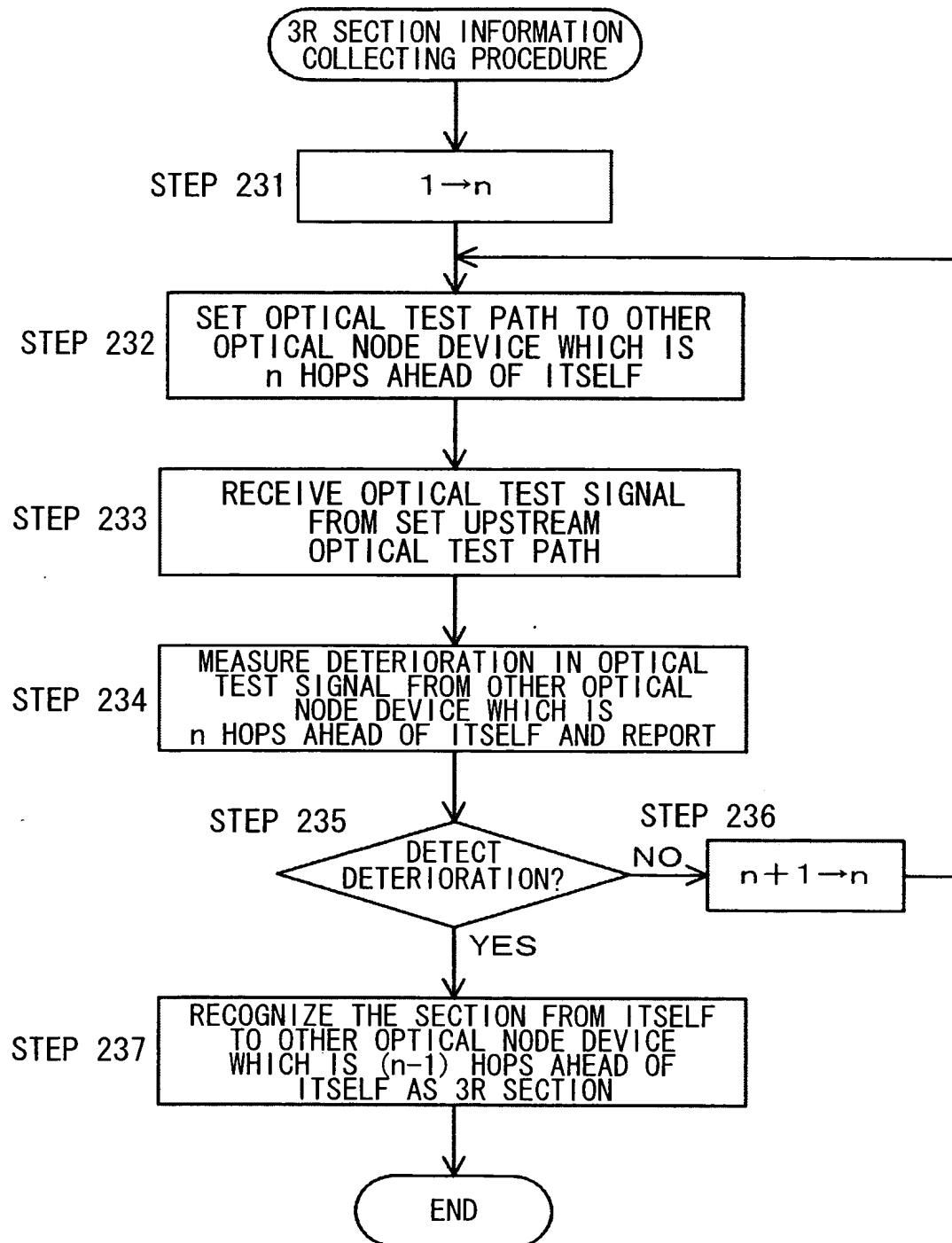


FIG.86



66/66

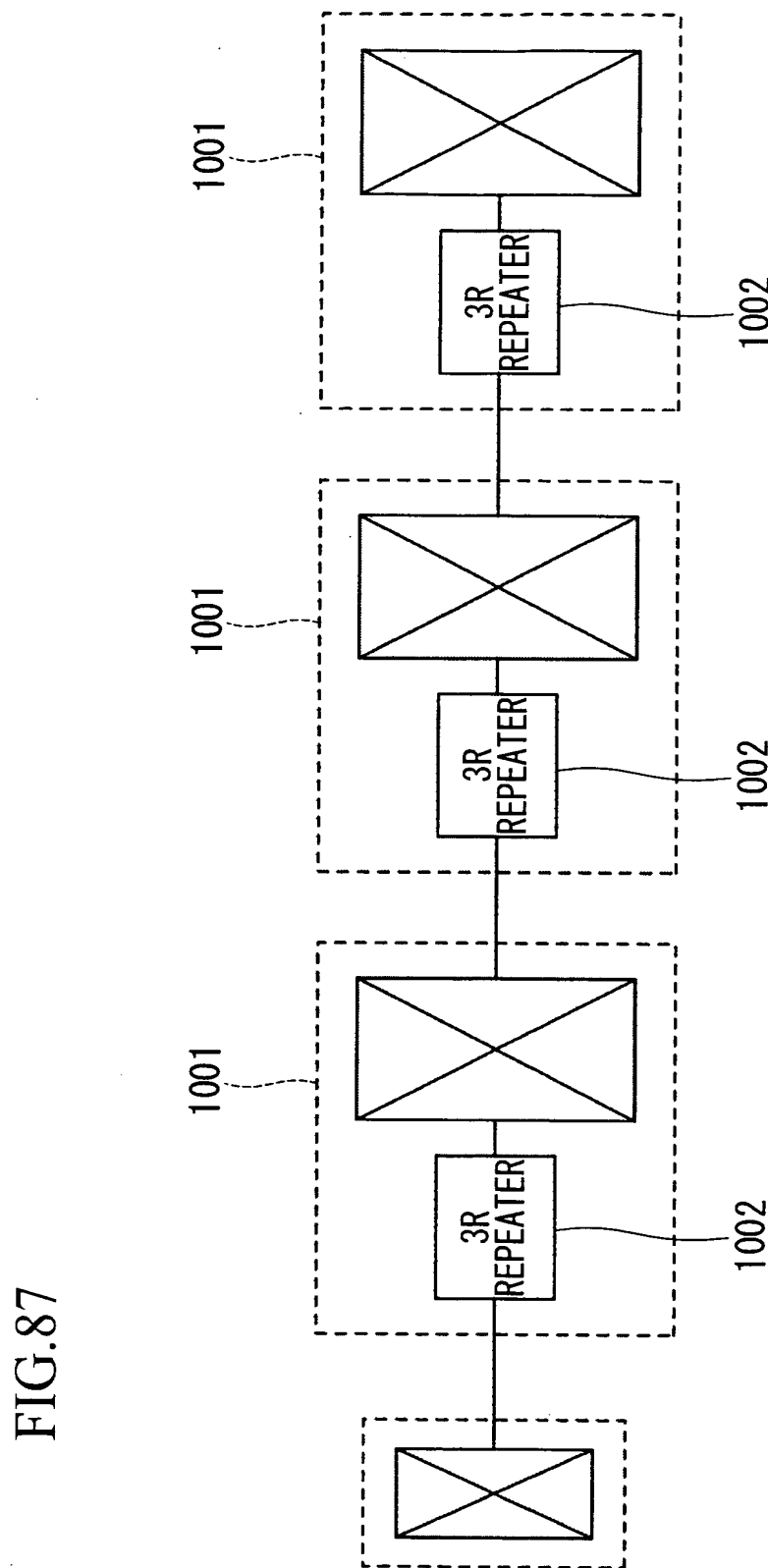


FIG.87